



IRANIAN SOCIETY of
CRYSTALLOGRAPHY
and MINERALOGY

Vol. 17, No. 3, Fall 1388/2009

IRANIAN JOURNAL of
CRYSTALLOGRAPHY
and MINERALOGY

Mineralogy, geothermobarometry and magmatic series of Natanz plutonic complex

M. Honarmand^{1*}, M. Moayyed¹, A. Jahangiri¹, J. Ahmadian²

1- Geology Department, Tabriz University, Iran

2- Geology Department, Payame – Noor University, Isfahan, Iran

(Received: 9/9/2008, in revised form: 5/3/2009)

Abstract: The Natanz plutonic complex is located in north of Isfahan and in the Orumieh – Dokhtar magmatic belt. Based on petrographic studies, the Natanz complex is composed of six rock types, which are granodiorite, quartz-diorite, diorite, gabbro, quartz-monzonite and granite monzogranit. The intrusive rocks of Natanz are related to the calc-alkaline magmatic series and I-type granitoids. These rocks are mainly composed of plagioclase, quartz, amphibole, alkali-feldspar, biotite, and pyroxene. The composition of olivine is Fo₆₇₋₇₀. Pyroxene is Na-poor. The Composition of clinopyroxenes is in the diopside – augite range and orthopyroxenes are enstatite. All clinopyroxene analyses display compositional differences between cores and rims. Calcic amphibole with magnesiohornblende composition is one of the mafic minerals in the rocks. Composition of plagioclase is An₁₁ (the minimum value in granite) to An₉₂ (the maximum value in gabbro) and in some samples this mineral has normal zoning. Micas are Mg-rich biotite. Application of Al in hornblende barometry indicates a pressure of ≈ 2 kbar for the intrusion. Thermometry yields low temperatures, which probably reflects late stage, post - magmatic re-equilibration of the minerals.

Keywords: mineral chemistry, geothermometry, geobarometry, calc-alkaline, Orumieh – Dokhtar, Natanz.

* Corresponding author, Tel.: +98 (0311) 2615796, Fax: +98 (0311)7381002, E-mail: honarmand@modares.ac.ir



کانی شناسی، دما – فشار سنجی و تعیین سری ماقمایی مجموعه آذرین نفوذی نطنز

مریم هنرمند^{۱*}، محسن مؤید^۱، احمد جهانگیری^۱، جمشید احمدیان^۲

۱- دانشگاه تبریز، گروه زمین شناسی

۲- دانشگاه پیام نور اصفهان، گروه زمین شناسی

(دریافت مقاله: ۸۷/۶/۱۹، نسخه نهایی: ۸۷/۱۲/۱۵)

چکیده: توده‌های آذرین نفوذی نطنز در شمال اصفهان و در امتداد کمربند ماقمایی ارومیه-دختر رخنمون یافته‌اند. بر اساس بررسی-های سنگ‌شناختی این توده‌ها از گابرو، دیوریت، کوارتز-موزونیت، گرانو-دیوریت، کوارتز-موزونیت و مونزو-گرانیت تشکیل یافته‌اند، و از نظر سری ماقمایی آهکی-قلیایی و از گرانیت-وئیدهای نوع I هستند. داده‌های حاصل از آنالیز ریزپردازشی حاکی از آن است که ترکیب الیوین موجود در گابروها در حد $F_{0.67-7.1}$ است و پیروکسن‌های منطقه از نوع آهن، منیزیم و کلسیم‌دار (فقیر از Na) هستند. آمفیبول-های نیز از نوع کلسیک و بیشتر در ردۀ مگنزیو-هورنبلند قرار می‌گیرند. پلازیو-کلازهای منطقه در گستره‌ای از ترکیب $An_{92.37}$ تا $An_{11.43}$ هستند. آمفیبول و بیشتر در در رده مگنزیو-هورنبلند قرار می‌گیرند. با استفاده از روش فشار سنجی Al در هورنبلند، فشاری که برای تشکیل توده‌های آذرین نفوذی منطقه برآورد می‌شود در حدود ۲ کیلوبار است. همچنین دمای بدست آمده برای تشکیل کانی‌های آمفیبول و پیروکسن، با استفاده از روش‌های مختلف، نسبتاً پایین (در حدود 800°C ، در دیوریت) است که احتمالاً دمای مربوط به برقراری دوباره تعادل بین کانی‌ها در مراحل آخر ماقمایی و یا پس از ماقمایی است.

واژه‌های کلیدی: شیمی کانی، زمین دما سنجی، زمین فشار سنجی، آهکی قلیایی، ارومیه دختر، نطنز.

مقدمه

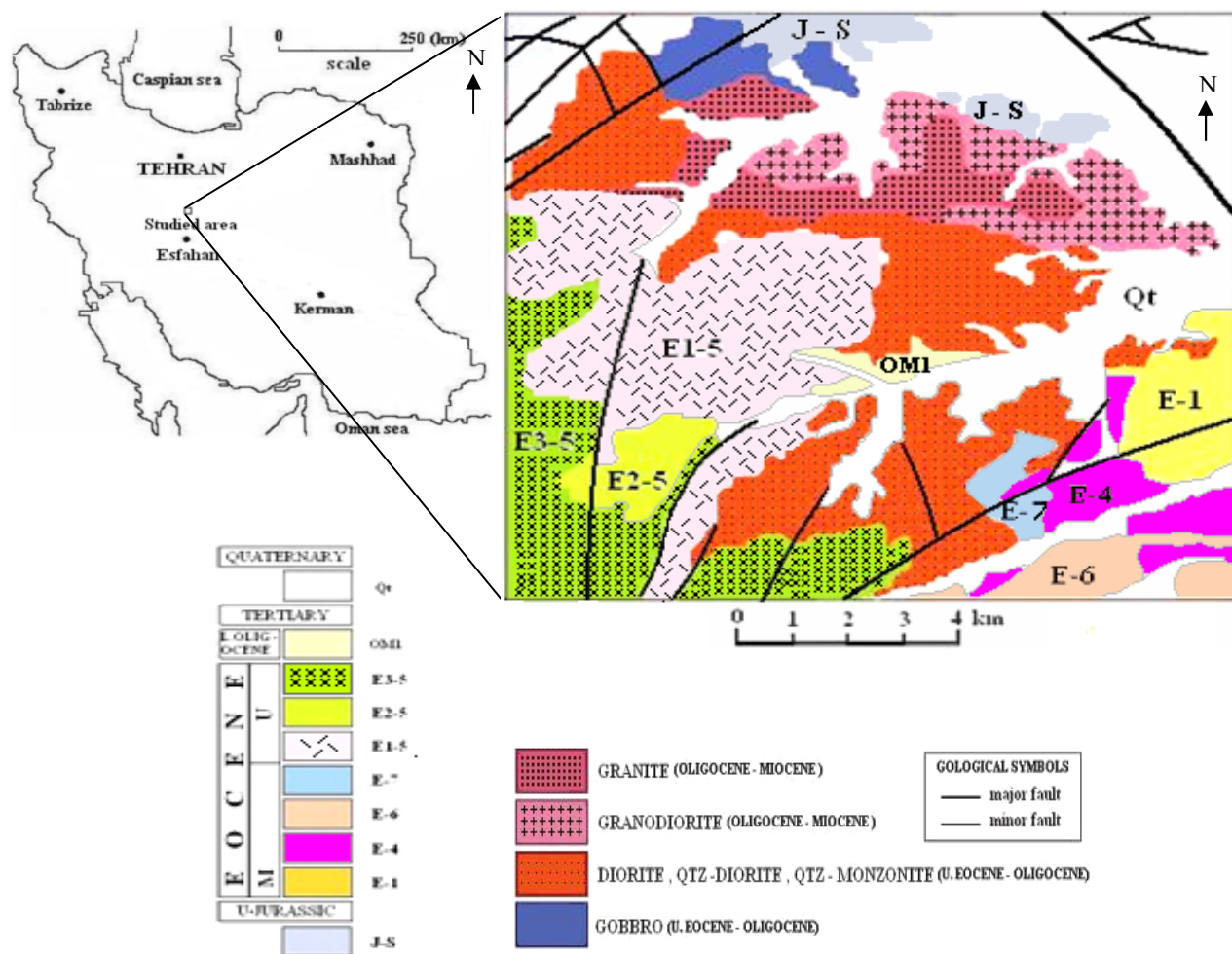
نطنز با طیف ترکیبی از گابرو تا مونزو-گرانیت در این سنگ‌های آذرآواری و آتش‌شناختی چین خودۀ ائوسن نفوذ کرده و هاله دگرگونی مجاورتی در حد رخساره آبیت-اپیدوت هورنفلس را در آن‌ها به وجود آورده است. به نظر می‌رسد واحدهای مختلف این مجموعه نفوذی هم خاستگاه بوده و احتمالاً از تزریق‌های پی در پی حاصل شده‌اند (بر اساس نتایج شیمی سنگ کل و روابط سنگ‌شناختی و صحرایی [۱]). در این مجموعه نفوذی گابروها قدیمی‌ترین واحد بوده و با دیوریت، گرانیت و رگه‌های آپلیت قطع شده‌اند. سنگ‌های حدواسط (دیوریت، گرانو-دیوریت و کوارتز-موزونیت) مهمترین انواع سنگی دیده شده در مجموعه پلوتونیک مورد نظر می‌باشند. به طور کلی واحدهای آذرین درونی موجود در این منطقه را بر اساس بررسی‌های

ناحیۀ مورد بررسی در استان اصفهان و در شمال شهر اصفهان واقع شده است. این منطقه بین طول‌های جغرافیایی $51^{\circ} ۴۷'$ و $56^{\circ} ۵۱'$ شرقی و عرض‌های جغرافیایی $۳۲^{\circ} ۳۳'$ و $۳۳^{\circ} ۲۶'$ شمالی قرار گرفته است (شکل ۱). توده‌های نفوذی به سن الیگو-میوسن در کنار گسل نطنز (که بخشی از گسل قم زفره به شمار می‌آید) رخنمون دارند. قدیمی‌ترین رخنمون-های سنگی در چارگوش مورد بررسی، بیشتر در بخش‌های شمال و شمال غرب آن قرار گرفته است (شکل ۱) و معادل سازند شمشک در نظر گرفته می‌شود. سنگ‌های آتش‌شناختی ناحیۀ مورد نظر بیشتر از واحدهای آندزیت، تراکی آندزیت، آندزی بازالت و توفهای اسیدی هستند که مجموعه نفوذی

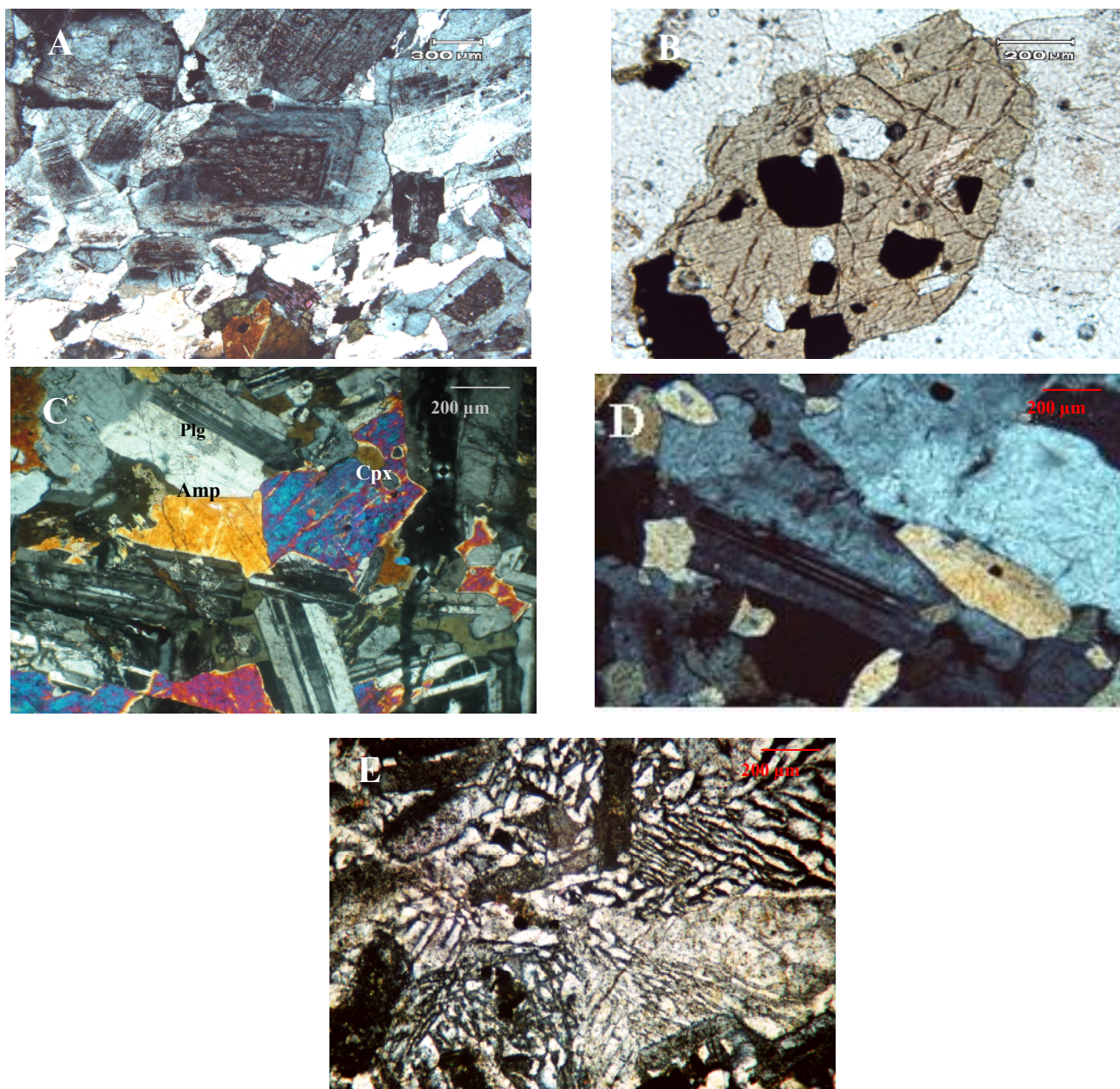
* نویسنده مسئول، تلفن: ۰۳۱۱ ۷۳۸۱۰۰، نامبر: ۰۳۱۱ ۲۶۱۵۷۹۶، پست الکترونیکی: honarmand@modares.ac.ir

توسط [۵] که در قالب رساله دکتری در سال ۱۳۵۹ انجام شده، اشاره کرد. با این توضیح که استفاده از آنالیزهای ریز پردازشی توسط ایشان تنها محدود به آگاهی از ترکیب کانی-شناسی در مبحث کانی شناسی بوده است و این نوشه نخستین پژوهش در زمینه بررسی‌های زمینی دما-فشار سنجی با تکیه بر داده‌های جدید ریزپردازش در مجموعه نفوذی نظرنگ محسوب می‌شود. علاوه بر این سعی شده است تا با تأکید بر ترکیب کانی‌شناسی، ویژگی‌های مagmaهای سازنده این مجموعه، ارزیابی فشار و دما، سنگ‌زایی و در نهایت سری magmaهای منطقه مورد بررسی به عمل آید.

سنگ شناختی می‌توان در شش گروه، گابرو، دیوریت، کوارتزدیوریت، کوارتزمونزونیت، مونزوگرانودیوریت و گرانیت تقسیم‌بندی کرد. بیشترین تفاوت گروه‌های یاد شده در میزان پلازیوکلاز، کوارتز و کانی‌های مافیک می‌باشد (شکل ۲). لازم به یادآوری است که مجموعه گرانیتوئیدی این منطقه از نظر ژئوشیمی سنگ [۱] و بر اساس تقسیم‌بندی [۲] نوع-I بوده و در سری magmaهای آهکی قلیایی [۳] قرار می‌گیرد. بر اساس شیمی عنصر کمیاب در تجزیه سنگ کل [۱]، مجموعه مورد بررسی در نمودار [۴] در گستره magmaهای با ویژگی‌های مناطق فروزانش قرار می‌گیرد. از پژوهش‌های مهم در ناحیه می‌توان به بررسی انجام شده



شکل ۱ موقعیت جغرافیایی منطقه مورد بررسی در ایران و نقشه زمین‌شناسی ۱/۱۰۰۰۰۰ عبارتند از: J-S شیل و ماسه سنگ سازند شمشک، E1 آندزیت پورفیری، E4 توف اسیدی، E6 توف ریوداسیتی، E7 آندزیت بازالت، E1-5 آندزیت بازالت، E2-5 آندزیت کنگلومرا و برش آندزیتی، OM1 پیروکلاستیک آندزیتی، E3-5 آندزیتی، Qt نهشتله‌های کواترنر.

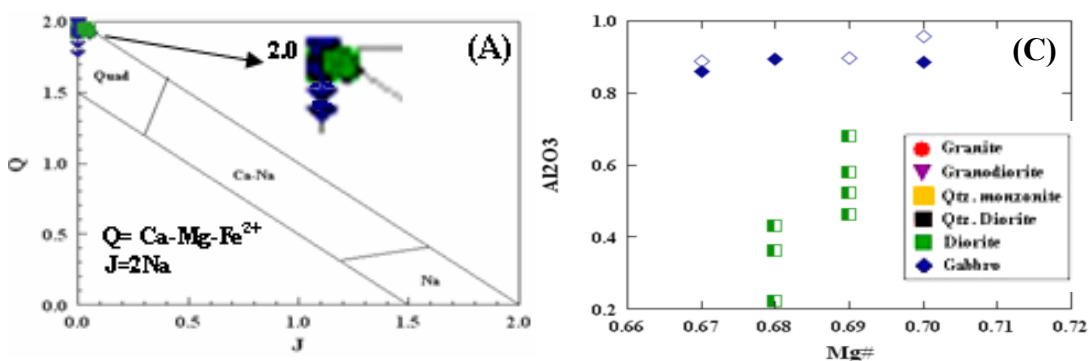


شکل ۲ تصویر A- منطقه‌بندی در پلازیوکلار موجود در دیوریت (XPL)، تصویر B- ادخال کانی‌های آپاتیت و مگنتیت در هورنبلندها، گرانیت اوره (XPL)، تصویر C- بلورهای همزیست آمفیبول و کلینوپیروکسن در نمونه دیوریتی (XPL)، تصویر D- بلورهای همزیست آمفیبول و پلازیوکلار در نمونه گرانودیوریتی (XPL) و تصویر E- بافت گرانوفیر در کوارتز موونزونیت (PPL).

و زمان شمارش ۴۰ ثانیه انجام شد. علاوه بر داده‌های ریزپردازشی فراهم شده در این پژوهش از نتایج آنالیز ریزپردازش [۵] نیز در برخی نمودارها، به استثنای مبحث دما- فشارسنجی، (با نمادهای نیمه پر) نیز استفاده شد. در شکل ۳ علائم وابسته به سنگ‌های مختلف که در کلیه نمودارها استفاده شد، دیده می‌شود.

روش مطالعه

در این کار پژوهشی، جمعاً ۶۷ تجزیه نقطه‌ای از کانی‌های پلازیوکلار، فلدسپار پتاسیک، الیوین، ارتوبیروکسن، کلینوپیروکسن، آمفیبول، بیوتیت و کلریت در دانشگاه Naruto، JXA- EPMA مدل- Joel 8800R ۱۵ nA، با ولتاژ شتاب دهنده ۱۵ KV، شدت جریان ۱۵ nA



شکل ۳ (A) رده‌بندی پیروکسن‌ها با استفاده از روش [۶] ، هیچکدام از نمونه‌ها در ردۀ پیروکسن‌های سدیم دار قرار نمی‌گیرند، (B) نمودار مربوط به تغییرات مقادیر Al_2O_3 در ارتپیروکسن نسبت به $\text{Mg}^{\#}$ موجود در این کانی‌ها در نمونه‌های وابسته به دیوریت‌ها تعییرات Al_2O_3 نسبت به $\text{Mg}^{\#}$ قابل توجه است. راهنمای عالم ااستفاده شده در کلیه نمودارها (لازم به یادآوری است که در نمودارهای این بخش علائم توپر به بخش‌های مرکزی بلورها و علائم توالی به بخش‌های حاشیه بلورها مربوط می‌شوند).

امفیبول بیشتر از بیوتیت است. بافت گرانوفیری که محصول هم رشدی کوارتز و فلدسپار قلیایی است و خاص توده‌های نفوذی نیمه عمیق است، نیز در برخی نمونه‌های کوارتز مونزونیتی دیده می‌شود (شکل ۲-E). کانی‌های اصلی موجود در مونزونوگرانیت‌های منطقه شامل کوارتز، ارتوکلاز، پلاژیوکلاز، بیوتیت و آمفیبول هستند. بیوتیت کانی فرومیزین غالب در گرانیت‌های منطقه است و در حدود ۱۵ درصد حجمی این سنگ‌ها را تشکیل می‌دهد. شواهد سنگ‌شناختی نشان می‌دهد که پس از تبلور هورنبلند و پلاژیوکلاز، آبکون باقیمانده از پتاسیم غنی شده و ترکیب ماقماً به سمت تبلور ارتووز پیش رفته است. فلدسپار پتاسیم فاز اصلی را در سنگ‌های اسیدی و حدواسط منطقه تشکیل می‌دهد و بلورهای آن گاهی به صورت شکل‌دار دیده می‌شوند ولی معمولاً به صورت نیمه شکل‌دار و بی‌شکل فضای بین دانه‌های دیگر را پر کرده‌اند. برخی از آن‌ها ماکل کارلسپاد داشته و در برخی بلورها نیز بافت پرتیتی قابل مشاهده است. در برخی مقاطع پلاژیوکلاز با فلدسپار قلیایی فراگرفته شده است که نشانه ترتیب تبلور آنهاست.

بحث و بررسی ۱- پیروکسن

یکی از تشکیل دهنده‌های مهم سنگ‌های گابرویی منطقه، پیروکسن است که پس از پلاژیوکلاز، فراوانترین کانی سنگ به حساب می‌آید. این کانی گاهی دستخوش دگرسانی شده و طی فرایند اورالیتی شدن بوسیله آمفیبول جایگزین شده است. پدیده بالا احتمالاً ناشی از دگرسانی در مرحله دوتیریک است. پیروکسن‌ها در گابروها و دیوریت‌ها بافت افیتیک و شبه افیتیک نشان می‌دهند که مبین تبلور همزمان آن‌ها با

سنگ‌شناختی گابرو در بخش شمالی چهارگوش مورد بررسی بروند دارد (شکل ۱) و کانی‌های اصلی موجود در آن شامل پلاژیوکلاز، پیروکسن و به مقدار کمتری آمفیبول است. الیوین نیز در برخی از مقاطع بیشتر به صورت ریز بلور تا متوسط دیده می‌شود. آمفیبول مهمترین کانی مافیک در دیوریت‌های منطقه بوده و به دو صورت اولیه (هورنبلند سبز) و ثانویه (اکتینولیت و اورالیت) حاصل تجزیه پیروکسن‌ها، دیده می‌شود [۱]. همانند گابروها، پلاژیوکلاز مهمترین کانی فلزیک موجود در دیوریت‌هاست و بیشتر دارای ماکل مکرر بوده و در برخی موارد دارای منطقه‌بندی است (شکل ۲-A). پلاژیوکلازها معمولاً به سریسیت تجزیه شده‌اند. همچنین نفوذی‌هایی از آپاتیت، زیرکن و هورنبلند سبز در بلورهای پلاژیوکلاز دیده می‌شوند. بر پایه بررسی‌های کانی‌شناختی، کانی‌هایی که در مجموع در این سنگ‌ها بیشتر از نوع مگنتیت بوده که در برخی نقاط بخشی از این کانی‌ها همراه با آپاتیت به وسیله آمفیبول و بیوتیت فرا گرفته شده‌اند (شکل ۲-B) که نشانگ تقدم تبلور مگنتیت است. آمفیبول و کلینوپیروکسن کانی‌های مافیک غالباً در نمونه‌های دیوریتی منطقه هستند. در شکل ۲-C نمونه‌ای از کانی‌های آمفیبول و کلینوپیروکسن همزیست موجود در این سنگ‌ها نشان داده شده است. بافت‌های مشاهده شده در کوارتز دیوریت‌ها شامل گرانولار، پوئی کلیتیک، افیتیک و کرونا می‌باشند. کانی‌های اصلی موجود در این سنگ‌ها و نیز گرانو دیوریت‌ها شامل پلاژیوکلاز، آمفیبول (شکل ۲-D)، کوارتز، کلینوپیروکسن (در کوارتز دیوریت‌ها)، فلدسپار پتاسیک و بیوتیت است. در بیشتر مقاطع کوارتز دیوریت‌ها، فراوانی

انستاتیت همه نمونه‌ها در گسترهٔ ترکیبی En_{65-69} واقع شده است. چنانکه در نمودار ۳-*B* مشاهده می‌شود مقدار Al_2O_3 در ارتوپیروکسن‌های موجود در گابرو، نسبت به تغییرات $Mg^{\#}$ تقریباً ثابت است ولی در نمونه‌های وابسته به دیوریت‌ها تغییرات Al_2O_3 نسبت به $Mg^{\#}$ قابل توجه است. این حالت می‌تواند ناشی از بالا رفتن میزان Al_2O_3 ماغما در حین Al_2O_3 جدایش و تبلور ماغما باشد، چرا که با افزایش میزان Al_2O_3 ماغما، بلورهای پلازیوکلаз پیش از ارتوپیروکسن متبلور می‌شوند و در نتیجه بر اثر ورود Al به شبکه پلازیوکلاز، ارتوپیروکسن‌ها از Al فقیر می‌شوند [۱]. مقادیر وابسته به Cr و Ti موجود در ارتوپیروکسن به تناسب کاهش مقدار $Mg^{\#}$ (درصد انستاتیت) و یا به عبارتی با افزایش درجه جدایش و تبلور ماغما، کم و بیش کاهش می‌یابند.

پلازیوکلاز و یا کمی دیرتر از آن، است. لازم به یادآوری است که بیشتر پیروکسن‌های موجود در مقاطع بررسی شده از نوع کلینوپیروکسن هستند. به طور کلی پیروکسن‌های منطقه اعم از ارتو و کلینو در نمودار $J-Q$ (شکل ۳) که برای رده-بندی پیروکسن‌ها پیشنهاد شده است [۶]، در گسترهٔ وابسته به پیروکسن‌های آهن-منیزیوم-کلسیم‌دار قرار می‌گیرند، چنانکه در نمودار پادشده دیده می‌شود، این پیروکسن‌ها فقیر از سدیم هستند.

I - ارتوپیروکسن

این کانی به صورت بلورهای شکل‌دار تا نیمه شکل‌دار در گابروهای منطقه دیده می‌شود. ترکیب ارتوپیروکسن‌های ناحیه (جدول ۱) در قلمرو انستاتیت قرار می‌گیرد. برای جدایش میزان Fe^{2+} و Fe^{3+} از روش پیشنهادی [۷] استفاده شد. درصد

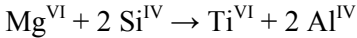
جدول ۱ نتایج ریزپردازش کانی‌های کلینوپیروکسن (Cpx) بر اساس ۶ اکسیژن، نمادهای استفاده شده در همه جدول‌ها شامل: gb : گابرو، dio : دیوریت، grd : گرانو دیوریت و gr : گرانیت، هستند.

Cpx	gb	gb	gb	gb	dio	dio	dio	dio
SiO_2	۵۱,۰۴	۵۱,۲۸	۵۲,۰۷	۵۱,۲۴	۵۲,۱۷	۵۲,۵۰	۵۱,۳۸	۵۱,۴۹
TiO_2	۰,۵۹	۰,۵۵	۰,۴۷	۰,۵۱	۰,۲۰	۰,۳۵	۰,۳۶	۰,۴۵
Al_2O_3	۱,۹۴	۲,۳۴	۱,۶۸	۱,۹۰	۱,۰۶	۲,۰۱	۲,۳۰	۲,۶۴
FeO	۷,۹۰	۸,۵۱	۹,۲۰	۸,۸۸	۹,۸۷	۹,۶۱	۷,۷۴	۸,۲۶
Cr_2O_3	۰,۰۲	۰,۱۱	۰,۰۴	۰,۰۰	۰,۰۰	۰,۰۴	۰,۱۴	۰,۰۰
MnO	۰,۴۲	۰,۳۲	۰,۴۳	۰,۳۳	۰,۳۵	۰,۲۹	۰,۲۵	۰,۲۷
MgO	۱۴,۱۹	۱۴,۰۹	۱۵,۰۰	۱۴,۳۳	۱۴,۵۲	۱۶,۴۱	۱۴,۷۰	۱۵,۲۲
CaO	۲۱,۹۳	۲۱,۵۵	۲۰,۶۸	۲۰,۵۲	۲۰,۸۴	۱۹,۲۳	۲۱,۴۳	۲۱,۱۳
Na_2O	۰,۳۴	۰,۳۲	۰,۳۰	۰,۳۹	۰,۳۳	۰,۲۴	۰,۳۳	۰,۳۲
K_2O	۰,۰۰	۰,۰۰۱	۰,۰۰	۰,۰۲	۰,۰۰	۰,۰۰	۰,۰۰	۰,۰۱
NiO	۰,۰۱	۰,۰۰	۰,۰۰	۰,۰۰	۰,۰۰	۰,۰۲	۰,۰۰	۰,۰۰
Total	۹۸,۳۵	۹۹,۰۴	۹۹,۸۶	۹۸,۱۲	۹۹,۳۵	۱۰۰,۷۱	۹۸,۶۳	۹۹,۸۰
T-Si	۱,۹۲۵	۱,۹۲۴	۱,۹۲۶	۱,۹۲۹	۱,۹۵۵	۱,۹۳	۱,۹۲۷	۱,۹۰۶
T-Al	۰,۰۷۵	۰,۰۷۶	۰,۰۶۴	۰,۰۸۱	۰,۰۴۵	۰,۰۷	۰,۰۷۳	۰,۰۹۴
$M_1 Al$	۰,۰۱۱	۰,۰۲۸	۰,۰۱	۰,۰۲۴	۰,۰۰۲	۰,۰۱	۰,۰۲۸	۰,۰۲۲
$M_1 Cr$	۰,۰۰	۰,۰۰۳	۰,۰۰۱	۰,۰۰	۰,۰۰	۰,۰۰	۰,۰۰۰۴	۰,۰۰
$M_1 Fe^{3+}$	۰,۰۵۱	۰,۰۳۷	۰,۰۴۸	۰,۰۳۷	۰,۰۵۶	۰,۰۵۶	۰,۰۳	۰,۰۷
$M_1 Ti$	۰,۰۱۷	۰,۰۱۶	۰,۰۱۳	۰,۰۱۵	۰,۰۰۶	۰,۰۱	۰,۰۱	۰,۰۱۳
$M_1 Mg$	۰,۷۹۸	۰,۷۸۸	۰,۸۳۱	۰,۸۰۸	۰,۸۱۱	۰,۸۹۸	۰,۸۲۲	۰,۸۴
$M_1 Fe^{2+}$	۰,۱۷۳	۰,۱۶۵	۰,۱۴۵	۰,۱۵۳	۰,۱۸۱	۰,۰۷۷	۰,۱۳۶	۰,۱۲۶
$M_1 Ni$	۰,۰۰	۰,۰۰	۰,۰۰	۰,۰۰	۰,۰۰	۰,۰۰۱	۰,۰۰	۰,۰۰
$M_2 Mg$	۰,۰۰	۰,۰۰	۰,۰۰	۰,۰۰	۰,۰۰	۰,۰۰	۰,۰۰	۰,۰۰
$M_2 Fe2$	۰,۰۷۶	۰,۱۰۱	۰,۱۴۱	۰,۱۲۸	۰,۱۲۸	۰,۲۱۸	۰,۱۰۷	۰,۱۳
$M_2 Mn$	۰,۰۱۳	۰,۰۱	۰,۰۱۳	۰,۰۱۱	۰,۰۱۱	۰,۰۰۹	۰,۰۰۸	۰,۰۰۸
$M_2 Ca$	۰,۸۸۶	۰,۸۶۵	۰,۸۲۴	۰,۸۲۲	۰,۸۳۷	۰,۷۵۶	۰,۸۶۱	۰,۸۳۸
$M_2 Na$	۰,۰۲۵	۰,۰۲۳	۰,۰۲۱	۰,۰۲۸	۰,۰۲۴	۰,۰۱۷	۰,۰۲۴	۰,۰۲۳
$M_2 K$	۰,۰۰	۰,۰۰	۰,۰۰	۰,۰۰۱	۰,۰۰	۰,۰۰	۰,۰۰	۰,۰۰
Sum Cat.	۴,۰	۴,۰	۴,۰	۳,۹۹۹	۴,۰	۴,۰	۴,۰	۴,۰

ظرفیتی دیگر از قبیل Cr³⁺ و Fe³⁺ نیز وارد آن شده‌اند. به عبارت دیگر چنین پیروکسنی فاقد آلومینیوم هشت وجهی (Al^{VI}) است. لازم به یادآوری است که مقدار Al در کلینوپیروکسن‌ها در فشارهای زیاد ($> 3.5 \text{ Gpa}$) با واکنش (a) و در فشارهای پایین ($1.2 - 0.5 \text{ Gpa}$) با واکنش (b) کنترل می‌شود [۱۴]. واکنش (a) در اعمق بیش از ۱۲۰ کیلومتر رخ می‌دهد [۱۴].



از آنجا که ترکیب شیمیایی کلینوپیروکسن‌ها تابعی از ترکیب شیمیایی و محیط تشکیل ماقمای سازنده آنهاست، بنابراین نمودارهای (شکل ۴-D,C) می‌تواند اطلاعاتی را در رابطه با سری ماقمایی تشکیل دهنده سنگ‌ها ارائه دهد [۱۵, ۱۶]. چنانکه در این نمودارها مشاهده می‌شود کلینوپیروکسن‌های ناحیه بیشتر در گستره تولئیتی و آهکی-قلیایی (شبه قلیایی) قرار می‌گیرند. این کلینوپیروکسن‌ها در مقایسه با انواع موجود در سنگ‌های قلیایی از Si غنی‌ترند. چنانکه در نمودار شکل ۴-E ملاحظه می‌شود رابطه مثبتی بین Ti^{IV} و Al^{VI} دیده می‌شود، حال آنکه در نمودار Ti-Mg، این رابطه وارون است (شکل ۴-F) که می‌تواند بازتابی از جانشینی CaTiAl₂O₆ به جای Ca(Mg,Fe)Si₂O₆ باشد:



خطی که مشخص کننده جانشینی ایده آل Ti-Al^{IV} است در شکل ۴-E ترسیم شده است. در این نمودار نمونه‌ها در پایین خط (سمت Al^{IV}) قرار گرفته‌اند که نشان می‌دهد Al در موقعیت چهار وجهی قرار گرفته تا دیگر جانشینی‌های دوتایی را که شامل Ti می‌شود جبران کند. در رابطه با کم بودن میزان Cr₂O₃ در این بلورها می‌توان گفت که این پیروکسن‌ها از یک ماقمای جدایشی متبلور شده‌اند، به عبارت دیگر ماقمای سازنده گابروهای منطقه، اولیه نبوده و خود حاصل جدایش یک ماقمای بازیکتر بوده است. گابروهای منطقه نسبت به دیوریت‌ها حاوی Ti بیشتری هستند. این در حالی است که کلینوپیروکسن موجود در گابروها Ti کمتری نسبت به نمونه‌های موجود در دیوریت‌ها دارد. پایین بودن میزان تیتانیم در ترکیب این کلینوپیروکسن‌ها به حضور مقدار بیشتری ایلمنیت در گابروها وابسته است. زیرا با تبلور ایلمنیت Ti موجود در آبگون بیشتر وارد شبکه ایلمنیت شده و پیروکسن‌های همزیست با ایلمنیت، از تیتانیوم فقیر می‌شوند. Ti⁴⁺ در

II-کلینوپیروکسن

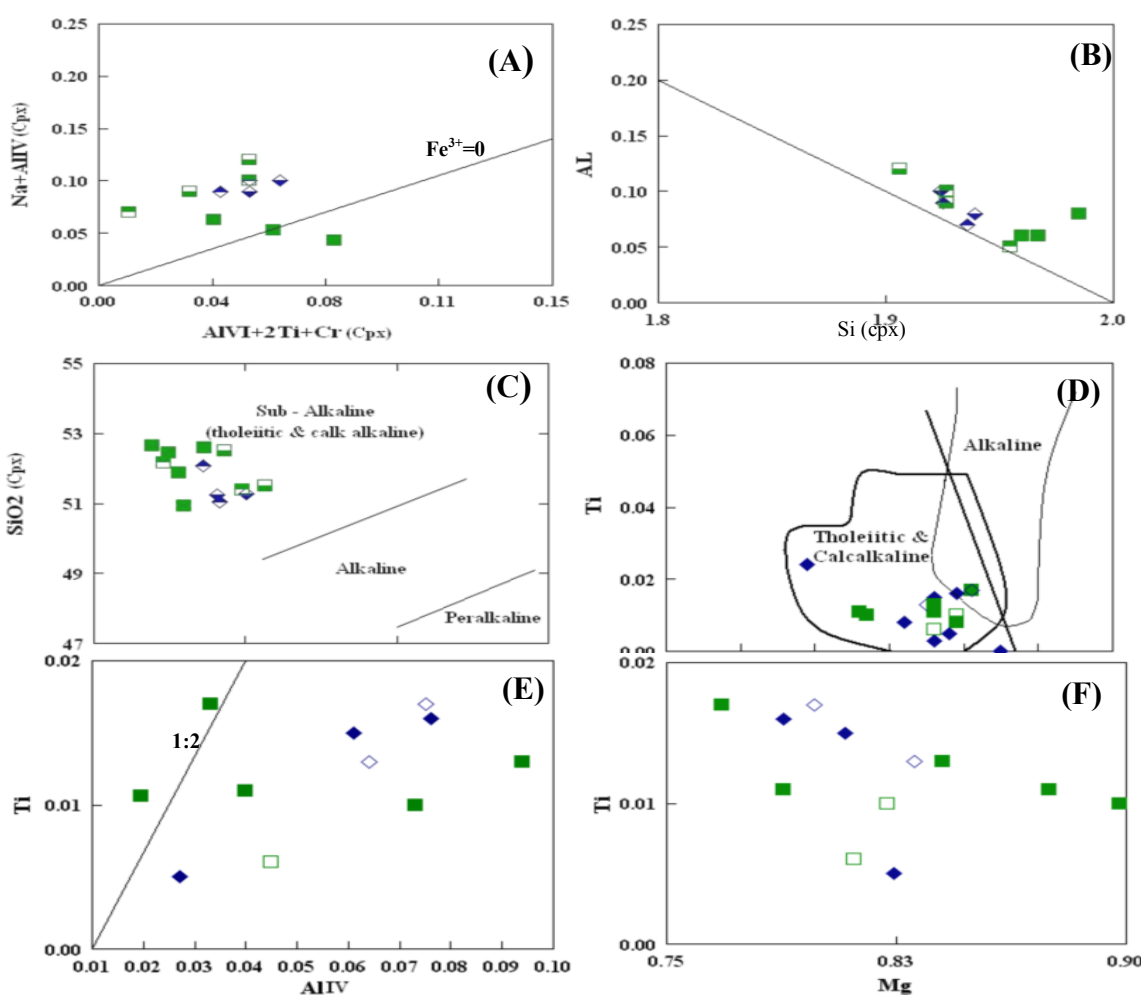
این کانی در سنگ‌های گابرو، دیوریت و کوارتزدیوریت تا حیله وجود دارد. کلینوپیروکسن‌ها بیشتر از نوع کلسیک [کلسیم‌دار] هستند [۸]. در نمونه‌های تجزیه شده تغییر ترکیب از حاشیه به مرکز دیده می‌شود. ترکیب کلینوپیروکسن‌های منطقه بیشتر از نوع دیوبسید و اوژیت است. کلینوپیروکسن‌های تجزیه شده (جدول ۲) در حاشیه، Fe/Mg بیشتری نسبت به بخش مرکزی دارند که نشانگر منطقه‌بندی عادی در این کانی‌هاست. این تفاوت ترکیبی بین حاشیه و هسته را به تغییرات دما و فشار ماقمای ضمن صعود نسبت داده‌اند [۹] در حالیکه [۱۰] منطقه-بندی عادی در کلینوپیروکسن را ناشی از جدایش در فشار ثابت و یا صعود ماقمای آبدار (در دمای ثابت) و یا هر دوی این عوامل می‌داند. مقدار Fe³⁺ در پیروکسن‌ها بستگی به میزان اکسیژن محیط تشکیل آن‌ها دارد و از روی نمودار تغییرات Al^{VI}+2Ti+Cr^{IV}+Na نسبت به Al^{IV} قابل ارزیابی است [۱۱]. چنانکه در نمودار (شکل ۴-A) ملاحظه می‌شود بیشتر نمونه‌ها در گستره بالای خط $0 = \text{Fe}^{\text{III}}$ قرار می‌گیرند. این نمودار بر اساس موازنۀ Al موجود در موقعیت چهاروجهی با Al³⁺ و Cr³⁺ موجود در موقعیت هشت وجهی بنا شده است. بنابراین می‌توان گفت قرارگیری نمونه‌ها در بالای خط یادشده احتمالاً نشانه بالا بودن فوگاسیتۀ اکسیژن و قرارگیری آن‌ها در زیر خط نشانه پایین بودن فوگاسیتۀ اکسیژن در محیط تشکیل آنهاست [۱۲]. در عین حال [۱۳] به فاصلۀ نمونه‌ها از خط Fe^{III} اشاره کرده و یادآور شده‌اند که هر چه فاصلۀ نمونه‌ها از این خط بیشتر باشد مقدار فوگاسیتۀ [مدسانی] اکسیژن در محیط تشکیل آن‌ها بیشتر بوده است. با توجه به این که مجموع کاتیون‌های موقعیت چهاروجهی در فرمول ساختاری کلینوپیروکسن‌ها برابر ۲ است، در نمودار شکل ۴-B که در آن میزان Al نسبت به Si موجود در کلینوپیروکسن ترسیم شده است، کلیه نمونه‌ها (اعم از گابرو و دیوریت) در بالای خط $2 = \text{Si} + \text{Al}$ قرار می‌گیرند. که گویای آن است که در کلینوپیروکسن‌ها موقعیت چهار وجهی، تماماً با کاتیون‌های Si و بخشی از کاتیون‌های Al (Al^{IV}) اشغال شده و بقیه کاتیون‌های Al اضافی (Al^{VI}) در موقعیت هشت وجهی وارد شده‌اند. قرار گیری نمونه‌ای زیر خط یادشده حاکی از این است که نه تنها همه کاتیون‌های Si و Al وارد جایگاه هشت وجهی شده‌اند، بلکه به دلیل تکمیل نشدن این موقعیت، کاتیون‌های سه

دیوریتی در حدود ۸۰۰ درجه سانتیگراد است. در شکل ۵-B با استفاده از نمودار Cr_2O_3 - Al_2O_3 [۱۹] نسبت به Al_2O_3 کلینوپیروکسن می‌توان فشار در زمان تبلور کلینوپیروکسن‌ها را معادل فشارهای موجود در پوسته زمین برآورد کرد (بخش بالای نمودار معادل فشار در گوشه است)، لازم به یادآوری است که این نمودار یک برآورد کلی در مورد فشار تبلور این کانی ارائه می‌کند. همچنین برخی از پژوهشگران نظری [۲۰] و [۲۱] معتقدند که نسبت $\text{Al}^{VI}/\text{Al}^{IV}$ با فشار در زمان تبلور کلینوپیروکسن رابطه مستقیمی دارد. بنابراین کم بودن این نسبت (۰,۳۹ - ۰,۴۰) در کلینوپیروکسن‌های منطقه می‌تواند دلیل دیگری بر فشار نسبتاً پایین حاکم بر محیط تبلور این کانی قلمداد شود.

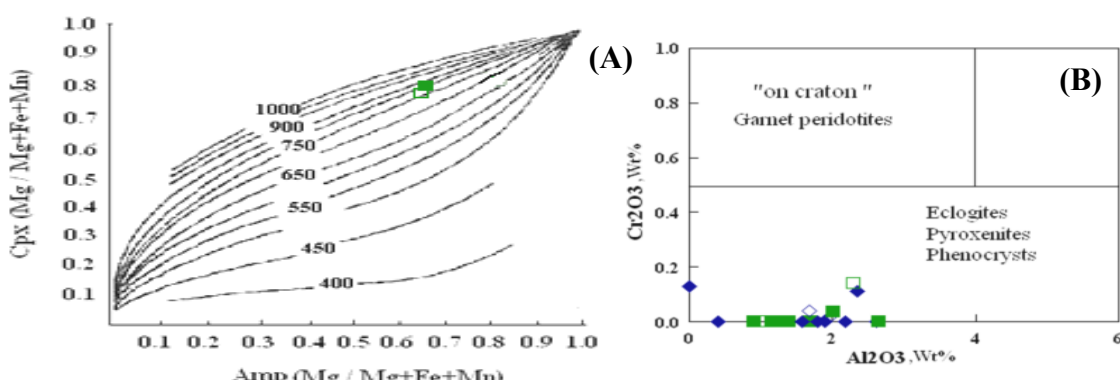
کلینوپیروکسن‌ها می‌تواند به عنوان یک عنصر اصلی قلمداد شود. این عنصر موقعیت هشت وجهی M_1 را اشغال می‌کند و با خاطر تفاوت‌های بین ظرفیت Ti^{4+} با Mg و Fe (که در این موقعیت میزبانند)، جایگیری Ti در شبکه بلور کلینوپیروکسن نیازمند دو جانشینی همزمان است. به عبارت دیگر نخست جانشینی $\text{Si}^{4+} \rightarrow \text{Al}^{3+}$ در موقعیت هشت وجهی باستی انجام شود [۱۷]. یکی از روش‌های دماستجی بر پایه تبادل کاتیون-های Mg و Fe بین کانی‌های آمفیبول و کلینوپیروکسن همزیست است [۱۸] که دمای تعادل این دو کانی را به دست می‌دهد (از آنجاییکه به برقراری تعادل کامل ترمودینامیکی پیرامون بلور، اطمینان بیشتری می‌توان داشت، لذا از ترکیب این کانی‌ها در حاشیه بلور استفاده شد) (شکل ۵-A). با استفاده از این روش دمای تعادلی این دو کانی در نمونه

جدول ۲ نتایج ریزپردازش کانی‌های ارتوبیروکسن (Opx) بر پایه ۶ اکسیژن.

Opx	gb	gb	gb	gb	gb
SiO_2	۵۲,۹۶	۵۳,۳۸	۵۳,۲۲	۵۳,۲۶	۵۳,۲۹
TiO_2	۰,۳۵	۰,۲۸	۰,۲۴	۰,۲۷	۰,۲۲
Al_2O_3	۰,۸۹	۰,۹۰	۰,۸۶	۰,۹۶	۰,۸۸
FeO	۱۹,۷۴	۱۹,۵۰	۲۰,۳۹	۱۸,۸۱	۱۹,۳
Cr_2O_3	۰,۰۱	۰,۰۰	۰,۰۱	۰,۰۰	۰,۰۲۴
MnO	۰,۶۹	۰,۶۶	۰,۶۴	۰,۶۹	۰,۷۲
MgO	۲۳,۹۲	۲۴,۶۰	۲۳,۶۲	۲۴,۵۵	۲۴,۸۴
CaO	۱,۷۲	۱,۳۱	۱,۲	۱,۶۸	۰,۷۸
Na_2O	۰,۰۲	۰,۰۰	۰,۰۲	۰,۰۱	۰,۰۰
K_2O	۰,۰۰	۰,۰۲	۰,۰۰	۰,۰۰	۰,۰۱۳
NiO	۰,۰۰	۰,۰۷	۰,۰۰	۰,۰۰	۰,۰۰۳
Total	۱۰۰,۳۲	۱۰۰,۷۲	۱۰۰,۲	۱۰۰,۲۳	۱۰۰,۰۷
T-Si	۱,۹۴۵	۱,۹۴۸	۱,۹۶۱	۱,۹۴۹	۱,۹۵۲
T-Al	۰,۰۳۹	۰,۰۳۹	۰,۰۳۷	۰,۰۴۱	۰,۰۳۸
$M_1\text{ Al}$	۰,۰۰	۰,۰۰	۰,۰۰	۰,۰۰	۰,۰۰
$M_1\text{ Cr}$	۰,۰۰	۰,۰۰	۰,۰۰	۰,۰۰	۰,۰۰۱
$M_1\text{ Fe}^{3+}$	۰,۰۵۴	۰,۰۵	۰,۰۲۸	۰,۰۴۶	۰,۰۰
$M_1\text{ Ti}$	۰,۰۱	۰,۰۱	۰,۰۰۷	۰,۰۰۷	۰,۰۰۶
$M_1\text{ Mg}$	۰,۹۹	۰,۹۹	۰,۹۹۳	۰,۹۹۳	۰,۹۹۳
$M_1\text{ Fe}^{2+}$	۰,۰۰	۰,۰۰	۰,۰۰	۰,۰۰	۰,۰۰
$M_1\text{ Ni}$	۰,۰۰	۰,۰۰۲	۰,۰۰	۰,۰۰	۰,۰۰
$M_2\text{ Mg}$	۰,۳۲	۰,۳۴۷	۰,۳۰۴	۰,۳۴۷	۰,۳۶۳
$M_2\text{ Fe}^{2+}$	۰,۶۰۶	۰,۵۹۵	۰,۶۲۹	۰,۵۷۵	۰,۵۹۳
$M_2\text{ Mn}$	۰,۰۲۱	۰,۰۲	۰,۰۲	۰,۰۲۱	۰,۰۲۲
$M_2\text{ Ca}$	۰,۰۶۸	۰,۰۵۱	۰,۰۴۷	۰,۰۶۶	۰,۰۳۱
$M_2\text{ Na}$	۰,۰۰۲	۰,۰۰	۰,۰۰۱	۰,۰۰	۰,۰۰
$M_2\text{ K}$	۰,۰۰	۰,۰۰۱	۰,۰۰	۰,۰۰	۰,۰۰۱
Sum Cat.	۴,۰	۳,۹۹۹	۴,۰	۴,۰	۳,۹۹۹



شکل ۴ (A) نمودار تعیین فوگاسیته اکسیژن در محیط تشکیل پیروکسن‌ها [۱۲] ترکیب کلینوپیروکسن‌ها بیشتر نشان‌دهنده بالا بودن نسبی فوگاسیته اکسیژن در زمان تبلور آن‌هاست، (B) نمودار تعیین میزان اشباع جایگاه چهار کاتیون‌های در کلینوپیروکسن‌ها موقعیت چهاروجهی، تماماً با کاتیون‌های Si و بخشی از کاتیون‌های Al (AlIV) اشغال شده و بقیه کاتیون‌های Al اضافی (AlVI) در موقعیت هشت‌وجهی وارد شده‌اند، (C) و (D) تعیین سری ماقمابی با استفاده از ترکیب کلینوپیروکسن‌ها [۱۶، ۱۵]، کلینوپیروکسن‌های ناحیه بیشتر در گستره تولئیتی و آهکی - قلیایی (ساب آلکالن) قرار می‌گیرند، (E) نمودار تغییرات Ti نسبت به AlIV در پیروکسن‌های منطقه و (F) تغییرات Ti نسبت به Mg، گابروهای منطقه نسبت به دیوریت‌ها حاوی Ti بیشتری هستند، نمادها نظیر شکل ۳ هستند.



شکل ۵ (A) تعیین دمای تعادل کلینوپیروکسن و آمفیبول همزیست در نمونه دیوریتی [۸] و (B) نمودار درصد وزنی Cr_2O_3 نسبت به Al_2O_3 در کلینوپیروکسن [۱۹]. نمادها نظیر شکل ۳ هستند.

تجزیه شده در زیردههای مگنزیوهرنبلند، هورنبلند و اکتینولیت قرار می‌گیرند. از آنجا که مقدار Fe^{3+} در فرمول ساختاری آمفیبول‌های موجود در مونزو-گرانوپوریت‌ها و گرانیت‌ها و نیز برخی از دیوریت‌ها بیشتر از یک است (فرمول ۷) ساختاری آمفیبول بر اساس ۱۳ کاتیون و روش پیشنهادی [۷] محاسبه شده است) بنابراین می‌توان پیشوند فرو را برای نامگذاری هورنبلندهای موجود در این سنگ‌ها به کار برد (جدول ۳). لازم به یادآوری است که در این میان تنها یکی از آمفیبول‌های مربوط به [۵] در گستره آمفیبول Na دار قرار می‌گیرد. چنانکه در نمودار A دیده می‌شود نمونه‌های وابسته به سنگ‌های مونزو-گرانیتی دارای Na بیشتری نسبت به دیگر نمونه‌ها هستند.

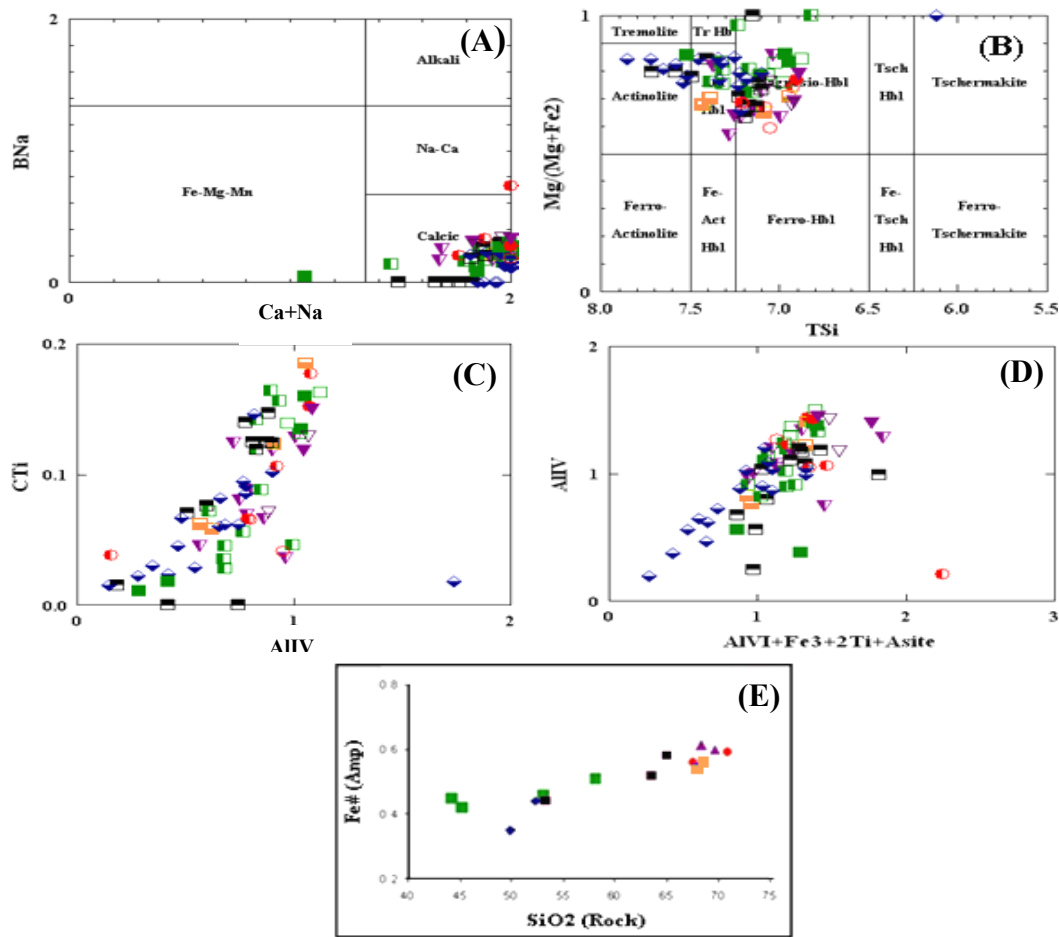
۲- آمفیبول

آمفیبول‌ها در دامنه گسترهای از شرایط فشار و دما ظاهر می‌شوند و از سازندگان عادی سنگ‌های آذرین بویژه سنگ‌های درونی از نوع آهکی- قلیایی و سنگ‌های دگرگونی به شمار می‌آیند. در مجموعه نفوذی نطنز نیز آمفیبول مهمترین کانی مافیک به ویژه در سنگ‌های حدواسط منطقه است. آمفیبول‌های منطقه بر اساس رده بندی [۸] از نوع کلسیک [کلسیم دارند] اند. این کانی در رده‌بندی [۲۲] نیز در گروه آمفیبول‌های کلسیک (منوکلینیک) [تک میل] با پارامترهای $\text{Ca} > 1.5$ و $\text{Na}_B < 0.5$ و $(\text{Ca} + \text{Na}_B) \geq 1$ و نیز $\text{Zr} / \text{Ti} < 1.5$ و $\text{Sr} / \text{Ca} \geq 0.5$ و $(\text{Na} + \text{K}) / \text{A} \geq 0.5$ قرار می‌گیرند (شکل ۶ A و B) که مطابق با آن، آمفیبول‌های

جدول ۳ نتایج ریزپردازش کانی‌های آمفیبول (Amph) بر پایه ۲۳ اکسیژن.

Amp	dio	dio	dio	dio	dio	grd	grd	grd	grd	gr
SiO_2	۴۸.۲۱	۴۷.۶۱	۵۳.۵۱	۴۷.۳۵	۴۷.۸۶	۴۷.۳۹	۴۷.۲۵	۴۸.۴۵	۴۷.۴۱	۴۷.۵۲۲
TiO_2	۱.۲۷	۱.۱۹	۰.۱۷	۱.۴۹	۱.۴۶	۱.۱۷	۱.۳۷	۰.۶۵	۱.۱۰	۰.۳۶۸
Al_2O_3	۵.۷۸	۶.۱۷	۲.۵۳	۶.۷۸	۶.۲۸	۶.۲۶	۶.۴۰	۵.۱۴	۶.۱۲	۶.۱۲۸
FeO	۱۲.۵۳	۱۴.۵۹	۱۲.۴۸	۱۲.۴۸	۱۳.۱۲	۱۸.۸۲	۱۷.۶۴	۱۸.۲۹	۱۸.۳۵	۱۹.۳۰۷
Cr_2O_3	۰.۰۰	۰.۰۲	۰.۰۰	۰.۰۵	۰.۰۱	۰.۰۰	۰.۰۳	۰.۰۵	۰.۰۱	۰.۰۳۰
MnO	۰.۳۰	۰.۲۶	۰.۲۸	۰.۱۶۹	۰.۲۳	۱.۱۵	۱.۰۲	۱.۳۰	۰.۶۸	۰.۷۸۴
MgO	۱۵.۱۰	۱۳.۷۸	۱۶.۹۳	۱۵.۱۰	۱۴.۷۶	۱۱.۱۰	۱۱.۶۷	۱۱.۹۸	۱۲.۱۶	۱۰.۵۸۹
CaO	۱۱.۲۳	۱۱.۴۲	۱۱.۷۶	۱۱.۱۱	۱۰.۸۵	۱۰.۳۵	۱۰.۶۴	۹.۹۵	۹.۷۳	۱۱.۴۵۶
Na_2O	۰.۹۲	۰.۸۷	۰.۲۹	۱.۱۲	۱.۱	۱.۲۱	۱.۲۰	۱.۰۱	۱.۱۰	۰.۷۹۹
K_2O	۰.۳۲	۰.۴۲	۰.۱۰	۰.۴۶	۰.۳۹	۰.۳۶	۰.۴۱	۰.۳۳	۰.۴۰	۰.۴۸۴
NiO	۰.۰۲	۰.۰۰	۰.۰۰	۰.۰۰	۰.۱	۰.۰۰	۰.۰۶	۰.۰۳	۰.۰۰	۰.۰۳۷
Total	۹۵.۶۹	۹۶.۳۲	۹۸.۰۶	۹۶.۱۰	۹۶.۱۲	۹۷.۷۸	۹۷.۶۸	۹۷.۱۳	۹۷.۱۰	۹۷.۵۱
T- Si	۷.۰۲۶	۶.۹۷۴	۷.۵۱۸	۶.۸۷۵	۶.۹۴۹	۶.۹۳۱	۶.۹۱۵	۷.۰۵۶	۶.۸۸۷	۷.۰۴۹
T- Al	۰.۹۷۴	۱.۰۲۶	۰.۴۱۹	۱.۱۲۵	۱.۰۵۱	۱.۰۶۹	۱.۰۸۵	۰.۸۸۲	۱.۰۴۷	۰.۹۵۱
T- Fe^{3+}	۰.۰۰	۰.۰۰	۰.۰۶۳	۰.۰۰	۰.۰۰	۰.۰۰	۰.۰۰	۰.۶۲	۰.۰۰۷	۰.۰۰
T- Ti	۰.۰۰	۰.۰۰	۰.۰۰	۰.۰۰	۰.۰۰	۰.۰۰	۰.۰۰	۰.۰۰	۰.۰۰	۰.۰۰
Sum T	۸.۰	۸.۰	۸.۰	۸.۰	۸.۰	۸.۰	۸.۰	۸.۰	۸.۰	۸.۰
C- Al	۰.۰۱۷	۰.۰۳۹	۰.۰۰	۰.۰۳۵	۰.۰۲۲	۰.۰۱	۰.۰۱۷	۰.۰۰	۰.۰۰	۰.۱۲
C- Cr	۰.۰۰	۰.۰۰۲	۰.۰۰	۰.۰۰۶	۰.۰۰۱	۱.۰۰	۰.۰۰۳	۰.۰۰۶	۰.۰۰۱	۰.۰۰۴
C- Fe^{3+}	۰.۸۵	۰.۸۱۲	۰.۸۰۹	۰.۸۹۹	۰.۹۵۳	۱.۱۴۸	۱.۰۱۱	۱.۳۴۸	۱.۴۶۱	۰.۷۸۲
C- Ti	۰.۱۳۹	۰.۱۳۱	۰.۰۱۸	۰.۱۶۳	۰.۱۶	۰.۱۲۹	۰.۱۵	۰.۰۷۱	۰.۱۱۸	۰.۰۴۱
C- Mg	۳.۲۷۹	۳.۰۰۹	۳.۵۴۶	۳.۲۶	۳.۱۹۵	۲.۴۱۷	۲.۵۴۴	۲.۶۰۲	۲.۶۳۳	۲.۲۴۳
C- Fe^{2+}	۰.۶۷۷	۰.۹۷۵	۰.۵۹۴	۰.۶۱۶	۰.۶۴	۱.۱۵۴	۱.۱۴۷	۰.۸۱۹	۰.۷۰۳	۱.۶۱۳
C- Mn	۰.۰۳۷	۰.۰۳۳	۰.۰۳۳	۰.۰۲۱	۰.۰۲۹	۰.۱۴۲	۰.۱۲۷	۰.۱۵۶	۰.۰۸۴	۰.۰۹۹
Sum C	۵.۰۰	۵.۰۰	۵.۰۰	۵.۰۰	۵.۰	۵.۰	۵.۰	۵.۰	۵.۰	۵.۰
B- Ca	۱.۷۵۴	۱.۷۹۳	۱.۷۷	۱.۷۲۹	۱.۶۸۸	۱.۶۲۲	۱.۶۶۸	۱.۵۶	۱.۵۱۵	۱.۸۲۱
B- Na	۰.۲۴۶	۰.۲۰۷	۰.۰۷۹	۰.۲۷۱	۰.۳۰۵	۰.۳۴۱	۰.۳۳۲	۰.۲۸	۰.۳۱۱	۰.۱۷۹
Sum B	۲.۰۰	۲.۰۰	۱.۸۴۹	۲.۰	۱.۹۹۴	۱.۹۶۳	۲.۰	۱.۸۳۶	۱.۸۲۵	۲.۰
A- Na	۰.۰۱۵	۰.۰۳۹	۰.۰۰	۰.۰۴۵	۰.۰۰	۰.۰۰	۰.۰۰۹	۰.۰۰	۰.۰۰	۰.۰۵۱
A- K	۰.۰۶	۰.۰۷۹	۰.۰۱۹	۰.۰۸۶	۰.۰۷۳	۰.۰۶۶	۰.۰۷۶	۰.۰۶۱	۰.۰۷۵	۰.۰۹۲
Sum A	۰.۰۷۵	۰.۱۱۹	۹.۰۱۹	۰.۱۳	۰.۰۷۳	۰.۰۶۶	۰.۰۸۵	۰.۰۶۱	۰.۰۷۵	۰.۱۴۲
Sum Cat.	۱۵.۰۷	۱۵.۱۱۹	۱۴.۸۷۷	۱۵.۱۳	۱۵.۰۶۷	۱۵.۰۳	۱۵.۰۸۵	۱۴.۹۰	۱۴.۹۱	۱۵.۱۴۲

آمفیبول‌ها وابسته به این جایگزینی‌هاست، می‌بایست ترکیب آسمونه‌ها در نمودار دوتایی $\text{Al}^{\text{IV}} + 2\text{Ti}$ نسبت به مجموع $\text{Asite} + 2\text{Ti}$ تاماماً در راستای یک خط مستقیم با نسبت ۱ به ۱ قرار گیرند. به عبارت دیگر مجموعه کاتیونی $\text{Fe}^{3+} + \text{Al}^{\text{VI}} + 2\text{Ti}$ نیز کاتیون‌های موجود در نمای A که شامل Na_A و K_A می‌شوند بایستی رابطه خطی مستقیم با مقدار کاتیون‌های Al چهاروجهی داشته باشند. چنان‌که در شکل ۶ (D) دیده می‌شود نمونه‌های مورد بررسی در همه واحدهای منطقه از گابرو تا مونزوگرانیت در یک روند تقریباً خطی قرار می‌گیرند که نشان می‌دهد تنوع ترکیبی در آمفیبول‌های موجود در هر کدام از انواع سنگ‌های منطقه تابع میزان Al^{IV} و جایگزینی کاتیون‌های Fe^{3+} , Al^{VI} , Ti , $\text{Ca} + \text{Na}$ در موقعیت هشت وجهی است.



شکل ۶ (A) و (B) نمودارهای رده‌بندی و نامگذاری آمفیبول‌ها [۲۲]، آمفیبول‌های تجزیه شده بیشتر در زیردههای مگنزیوهورنبلند، هورنبلند و اکتینولیت قرار می‌گیرند، (C) نمودار Al^{IV} در آمفیبول‌ها تمامی آمفیبول‌ها کمتر از ۰.۵ اتم Ti در فرمول ساختاری دارند، (D) نمودار تغییرات Al^{IV} نسبت به مجموع $\text{Asite} + 2\text{Ti} + \text{Al}^{\text{VI}} + \text{Fe}^{3+}$ [۲۵] نمونه‌های مورد بررسی در همه واحدهای منطقه از گابرو تا مونزوگرانیت در یک روند تقریباً خطی قرار می‌گیرند، (E) نمودار مقدار سیلیس موجود در سنگ نسبت به عدد $\text{Fe}^{\#}$ آمفیبول‌ها، آمفیبول‌های موجود در این مجموعه به مواد افزایش سیلیس سنگ، از آهن نیز غنی می‌شوند، نمادها نظیر شکل ۳ هستند.

در نمودار تغییرات Ti نسبت به Al^{IV} (شکل ۶ - C) همه آمفیبول‌ها کمتر از ۰.۵ اتم Ti در فرمول ساختاری دارند. چنان‌چه نمودار مورد نظر را برای آمفیبول‌های موجود در واحدهای مختلف سنگی جدالگانه ترسیم کنیم، همه این نمودارها دارای روند مشابه با نمودار C-۶ بوده و مقدار آمفیبول در هر کدام از آن‌ها بین صفر تا ۰.۲۵ تغییر می‌کند. در نمودار C-۶ با کاهش میزان Al چهاروجهی، میزان Ti در آمفیبول‌ها کاهش می‌باید که این کاهش خود ناشی از افزایش Si در ساختار بلور بوده و معرف پیشرفت جدایش ماقم است. پژوهش‌های [۲۳] نشان می‌دهد که مقدار کاتیون‌های Fe^{3+} , Na_A , Ti و K_A در شبکه آمفیبول و جانشینی آن‌ها بجای یکدیگر، وابسته به مقدار Al موجود در موقعیت چهاروجهی ساختار بلور است. در حالت ایده آل که تفاوت ترکیبی

[۲۹] نیز روشی را برای دماستنجی با استفاده از زوج آمفیبیول - پلازیوکلاز همزیست ارائه کردند (در این روش پلازیوکلازها نباید دارای منطقه‌بندی باشند که این موضوع در مقاطع بررسی شده وابسته به واحد گرانودیوریتی منطقه، هم در بررسی‌های سنگ‌شناختی و هم در بررسی‌های SEM مورد تأیید قرار گرفت و در کلیه پلازیوکلازهای مشاهده شده در مقاطع گرانودیوریتی، منطقه‌بندی ترکیبی مشاهده نشد). این روش تنها برای سنگ‌های اسیدی و حدواتط که حاوی کوارتز و درصد An_{Plg} پلازیوکلاز آنها کمتر از ۰.۹۲ بود، و مقدار اتم Si در فرمول ساختاری آن-ها کمتر از ۷.۸ است، به کار می‌رود. با استفاده از این روش دمای تعادل آمفیبیول و پلازیوکلاز در نمونه گرانودیوریت برابر با ۷۸۰ کلوین (۱۵ درجه سانتیگراد) برابر می‌شود.

$T = \frac{0.677P}{0.0429 - 0.0083144 \ln(\text{Si-4/8-Si})X_{\text{Ab}}^{\text{Plg}}}$

قابل یادآوری است که حضور همزمان مگنتیت، اسفن و کوارتز همراه با آمفیبیول در گرانودیوریت‌ها و گرانیت‌های منطقه مبین بالا بودن فوگاسیتۀ اکسیژن در مagma‌ای سازنده این سنگ‌هاست [۳۰]. این مطلب با محاسبه کمی مقدار فوگاسیتۀ [مدسانی] اکسیژن با رابطه زیر [۳۰] تأیید می‌شود. برای نمونه گرانودیوریتی منطقه مقدار fO_2 در زمان تشکیل سنگ، برابر با $(\text{bars}) = 37/16$ - به دست می‌آید.

$$\log fO_2 = -30930/T + 14.98 + 0.142(P-1)/T$$

از ویژگی‌های ژئوشیمیایی آمفیبیول‌ها که بیشتر بر پایه بررسی زیپولیت‌های گوشته‌ایی حاصل شده، برای مقایسه ویژگی‌های دگرنهادی محیط‌های تکتونوماگمایی مختلف (به ویژه محیط‌های فروراش subduction و میان‌صفحه‌ای intraplate) استفاده شده است [۳۱]. آمفیبیول‌های وابسته به فروراش، Na_2O و TiO_2 پایین‌تری نسبت به انواع میان‌صفحه‌ای (I-Amph) دارند. بر اساس نمودار طبقه‌بندی تکتونوماگمایی [۳۱] آمفیبیول‌های منطقه بیشتر در گستره آمفیبیول‌های وابسته به مناطق فروراش (S-Amph) قرار می‌گیرند. (شکل ۷-B).

۳- فلدسپار

پلازیوکلاز و ارتوکلاز در تمامی واحدهای سنگی منطقه از بازیک تا اسیدی حضور دارند و مهمترین کانی‌های فلزیک سنگ‌های ناحیه محسوب می‌شوند. در اینجا ترکیب شیمیایی این کانی‌ها (جدول ۴) و فرایندهای فیزیکی و شیمیایی حاکم بر محیط تشکیل آن‌ها بررسی می‌شود.

پایداری کانی‌های فرومیزین یک فاکتور شاخص در ارزیابی فشار و دما در طول انجام مagmaست. با بررسی میزان آهن در واحدهای مختلف همبافت نطنز، می‌توان دریافت که کانی‌های فرومیزین (برای مثال آمفیبیول) موجود در این مجموعه به موازات افزایش سیلیس سنگ، از آهن نیز غنی می‌شوند (شکل ۶-E).

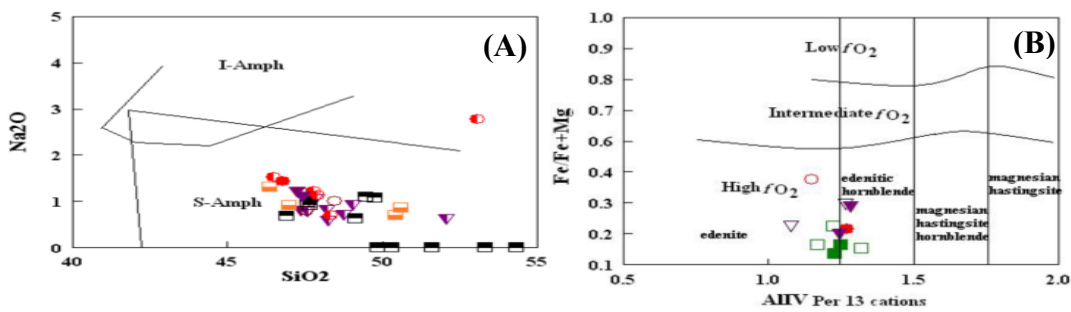
نتیجه‌ایی که در مورد میزان فوگاسیتۀ اکسیژن در زمان تشکیل کلینوپیروکسن‌ها در بخش قبلی بدست آمد، در مورد آمفیبیول‌ها نیز صدق می‌کند (شکل ۶-A) [۲۵] و مؤبد بالا بودن نسبی فوگاسیتۀ اکسیژن در زمان تبلور آمفیبیول است. نسبت $(\text{FeO}_{\text{t}}/\text{FeO}_{\text{t}} + \text{MgO})$ در مگنزیوهرنبلند با افزایش روند جدایش، از ۰/۱۲ تا ۰/۴۲ افزایش می‌باید (شکل ۶-F). در سنگ‌هایی که آمفیبیول کلسیم دارند، ترکیب سنگ بیشتر غنی از سیلیس و آهن است. تغییر ترکیب آمفیبیول‌ها، ناشی از تغییر در فوگاسیتۀ اکسیژن و فعالیت سیلیس مagmaی است. در حقیقت هر چه فوگاسیتۀ اکسیژن کمتر باشد، Fe^{2+} می‌تواند به مقدار بیشتری در شبکه هورنبلند جایگزین شود. بالا بودن نسبت $\text{Fe}^{3+}/\text{Fe}^{2+}$ باعث جانشینی بیشتر Mg به وسیله Al می‌شود [۲۶]. آمفیبیول یکی از فراوانترین کانی‌های تیره در مجموعه آذرین نفوذی نطنز است. این امر گویای غنی بودن magma‌ای در حال تبلور از سازنده آب است. معمولاً از آمفیبیول برای تعیین فشار حاکم بر محیط تبلور magma‌ای در مجموعه‌های گرانیتوئیدی استفاده می‌شود (البته با در نظر گرفتن شرایط خاصی که مربوط به وجود تعادل بین کانی‌های مورد نظر است). [۲۷] معادله‌ای را در رابطه با مقدار Al_{tot} در هورنبلند برای دستیابی به فشار تبلور آن، در سنگ‌های گرانیتوئیدی پیشنهاد کرده است که عبارت است از:

$$(d) P = (\pm 0.6 \text{ kbar}) = -3.01 + 4.76 \text{ Al}_{\text{tot}} - r^2 = 0.99$$

عمق تبلور آمفیبیول با استفاده از این روش به ترتیب ۲/۵۱ (نمونه دیوریت)، ۲/۲۳ (نمونه گرانودیوریت) و ۲/۰۸ (نمونه مونزوگرانیت) کیلوبار برابر می‌شود. [۲۵] فرمولی را برای محاسبه فشار ارائه کردد که در واقع تلفیقی از سه رابطه [۲۷]، [۲۸] و نیز رابطه دماستنجی [۲۹] است. در این فرمول، هر سه پارامتری را که بر روی مقدار Al در هورنبلند تأثیر می‌گذارند (فشار، دما و فوگاسیتۀ اکسیژن) در نظر گرفته شده است:

$$P[\pm 0.6 \text{ Kbar}] = -3.01 + 4.76 \text{ Altot} - \{(\text{T} [\text{C}^\circ] - 675) / 85\} \times \{0.53 \text{ Altot} + 0.005294 \times (\text{T} [\text{C}^\circ] - 675)\}$$

در این روش فشار، به دست آمده برای تبلور هورنبلند در نمونه گرانودیوریت برابر با ۱/۸۱ کیلوبار است.



شکل ۷ (A) نمودار تعیین فوگاسیتۀ اکسیژن بر پایه ترکیب آمفیبول‌ها [۲۵] در نمودار نشان‌دهنده بالا بودن نسبی فوگاسیتۀ اکسیژن در زمان تبلور آمفیبول است. و (B) نمودار طبقه‌بندی تکتونوماگماتی آمفیبول‌ها منطقه بیشتر در گستره آمفیبول‌ها وابسته به مناطق فرورانش (S-Amph) قرار می‌گیرند، نمادها نظری شکل ۳ هستند.

جدول ۴ نتایج ریزپردازش کانی‌های فلدسپار (Fds) بر پایه ۳۲ اکسیژن.

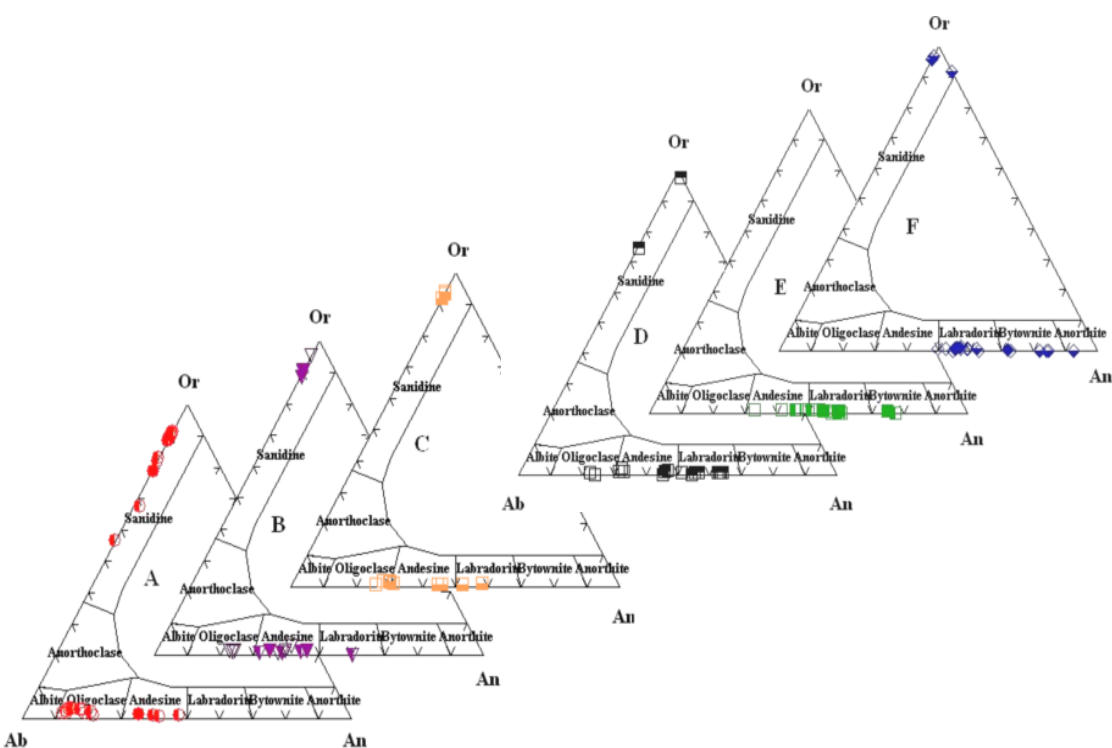
Fds	gb	dio	dio	dio	grd	grd	gr	gr
SiO ₂	50.07	55.44	53.57	52.29	59.59	62.41	61.98	64.99
TiO ₂	0.01	0.00	0.002	0.03	0.00	0.00	0.00	0.029
Al ₂ O ₃	31.22	27.78	29.25	29.40	25.26	22.67	22.92	18.27
FeO	0.34	0.208	0.27	0.21	0.12	0.13	0.12	0.16
Cr ₂ O ₃	0.00	0.00	0.00	0.01	0.00	0.00	0.00	0.02
MnO	0.00	0.002	0.02	0.02	0.00	0.00	0.04	0.03
MgO	0.02	0.00	0.01	0.00	0.03	0.00	0.00	0.00
CaO	14.21	9.824	11.39	11.84	7.03	4.57	4.34	0.02
Na ₂ O	3.10	5.617	4.71	4.39	7.21	8.72	8.78	1.16
K ₂ O	0.05	0.157	0.10	0.10	0.25	0.22	0.18	16.05
NiO	0.03	0.00	0.02	0.00	0.01	0.00	0.00	0.07
Total	99.02	99.02	99.36	98.29	99.51	98.72	98.33	101.01
Si	9.213	10.07	9.741	9.626	10.672	11.189	2.787	11.942
Al	6.764	5.94	6.264	6.375	5.326	4.876	1.215	3.953
Ti	0.001	0.00	0.00	0.003	0.00	0.00	0.00	0.004
Fe ²⁺	0.052	0.032	0.041	0.033	0.018	0.019	0.005	0.025
Mn	0.00	0.00	0.003	0.003	0.00	0.00	0.002	0.004
Mg	0.004	0.00	0.002	0.001	0.007	0.00	0.00	0.00
Ca	2.800	1.911	2.220	2.336	1.349	0.878	0.209	0.005
Na	1.096	1.978	1.662	1.568	2.505	3.030	0.766	0.415
K	0.013	0.036	0.024	0.024	0.058	0.050	0.01	3.822
Sum Cat.	19.943	19.96	19.957	19.968	19.935	19.952	4.994	20.180
X _{Or}	0.3	0.9	0.6	0.6	1.5	1.3	0.01	9.01
X _{Ab}	28.0	50.4	42.5	39.9	64.0	76.6	0.78	9.8
X _{An}	71.6	48.7	56.8	59.5	34.5	22.2	0.21	0.1

سنگی یاد شده، بیشترین میزان مربوط به هسته و کمترین میزان مربوط به حاشیه بلورهای پلازیوکلاز وابسته می‌باشدند. در شکل ۸ ترکیب پلازیوکلازهای منطقه به تفکیک نمونه سنگی روی نمودارهای [۸]، تصویر شده‌اند. چنانکه در نمودار دیده می‌شود، فلدسپارهای منطقه عمدتاً محلول جامد دوتایی تشکیل می‌دهند. [۳۲] معتقدند که عدم حضور میانبار از فازهای دیگر در بخش مرکزی بلورهای پلازیوکلاز و روند خطی آنورتیت نسبت به K₂O نشانگر آنست که پلازیوکلاز فاز اصلی

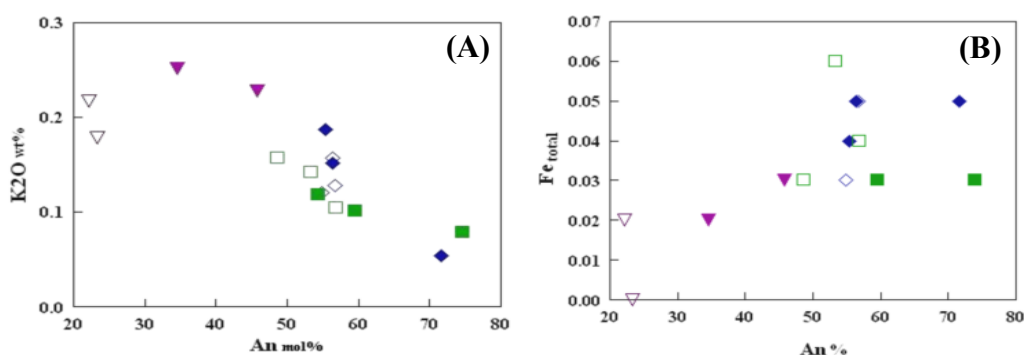
پلازیوکلاز فراوانترین کانی فلزیک در نمونه‌های گابرویی تا گرانودیوریتی منطقه است. به طور کلی ترکیب پلازیوکلازهای منطقه در گستره‌ای بین 11.43 An_{92.37} تا An_{22.17} در قرار می‌گیرد. به این ترتیب که ترکیب این کانی‌ها در گابروها An_{49.65} تا An_{45.63} در دیوریت‌ها An_{74.70} تا An_{57.78} در کوارتزمونزونیت‌ها An_{25.64} تا An_{22.20} در گرانیت‌ها An_{60.29} تا An_{57.78} در گرانیت-های An_{47.22} تا An_{11.43} هستند. برای هر کدام از نمونه‌های

(به صورت Fe^{+2}) رخ می‌دهد و میزان این جایگزینی به شدت به حالت اکسایش آهن وابسته است. بررسی‌های انجام شده روی پلاژیوکلازهای طبیعی [۳۴] نشان می‌دهد که میزان آهن در پلاژیوکلاز با کاهش درصد آنورتیت آن، کاهش می‌یابد که این ویژگی را می‌توان در پلاژیوکلازهای منطقه نیز مشاهده کرد (نمودار ۹). این مسئله با نتیجه‌عنصر سنجی پلاژیوکلاز، نیز سازگار است، به این ترتیب که افزایش Si^{4+} باعث می‌شود که جایگاه M کمتری برای جانشینی آهن در پلاژیوکلاز، همراه با کاهش درصد An، بر جای بمانند.

ماگمات است. دو ویژگی یادشده در بلورهای پلاژیوکلاز ناحیه قابل رویت است (شکل A-۹). گابرها دارای پلاژیوکلازهای با هسته کلسیم‌دار هستند و به نظر می‌رسد که این هسته‌های غنی از An در مراحل اولیه جدایش ایجاد و سپس با پلاژیوکلاز با ماگمات. در حقیقت ترکیب عناصر اصلی مربوط به فنوکریست همراه با تغییرات ترکیب ماگما تغییر می‌کند، چرا که ترکیب ماگما و فنوکریست‌ها از لحاظ ترمودینامیکی به هم وابسته هستند. به نظر [۳۳] جایگزینی آهن در پلاژیوکلاز در موقعیت چهار وجهی (به صورت Fe^{3+} و Fe^{2+}) و موقعیت M



شکل ۸ ترکیب فلدسپارهای منطقه با جدایش واحدهای سنگی [۸]. شامل: مونزوگرانیت (A)، گرانودیوریت (B)، کوارتزدیوریت (C)، کوارتزدیوریت (D)، دیوریت (E) و گابر (F)، نمادها نظیر شکل ۳ هستند.



شکل ۹ (A) نمودار تغییرات مقدار An در برابر K_2O موجود در پلاژیوکلاز روند خطی آنورتیت نسبت به K_2O نشانگر آنست که پلاژیوکلاز فاز اصلی ماگمات است، (B) نمایش تغییرات میزان آهن کل در پلاژیوکلاز نسبت به میزان آنورتیت میزان آهن در پلاژیوکلاز با کاهش درصد آنورتیت آن، کاهش می‌یابد. نمادها نظیر شکل ۳ هستند.

است. چنانکه از این نمودار بر می‌آید بیوپتیت‌های موجود در گرانیت‌ها و گرانودیوریت‌ها حاوی Mg کمتری نسبت به نمونه‌های بازیک‌ترند. از نظر میزان Si، بیوپتیت‌های موجود در مونزو-گرانیت‌ها دارای Si بیشتری نسبت به نمونه‌های گرانودیوریت و دیوریت دارند (شکل ۱۰-۱). از آنجا که ترکیب بیوپتیت در سنگ‌های آذرین تابع ترکیب ماقمایی است که از آن متبلور می‌شود، لذا ترکیب شیمیایی بیوپتیت‌ها می‌تواند به عنوان یک معیار مناسب برای شناسایی محیط زمین ساختی تشکیل گرانیت‌وئیدها به کار رود [۳۷، ۳۸]. بنابر با رده‌بندی [۳۷] این نمونه‌ها در گستره سنگ‌های آهکی-قلیایی کوه‌زایی قرار می‌گیرند (شکل ۱۱-A، B). برای تعیین سری ماقمایی سازنده بیوپتیت‌ها نیز از رده‌بندی [۳۹] استفاده شد. این رده‌بندی بر پایه مقدار Al نسبت به مقدار Mg در واحد مولکولی بیوپتیت‌ها بنا شده است (شکل ۱۱-B) و در آن گستره‌های پرآلکان [قلیایی، آهکی-قلیایی و آلومنیوپاتاسیک تفکیک شده است. مطابق با این رده‌بندی نمونه‌های موجود در مجموعه نفوذی نطنز در گستره سنگ‌های آهکی-قلیایی وابسته به کمربنده‌های کوه‌زایی قرار می‌گیرند.

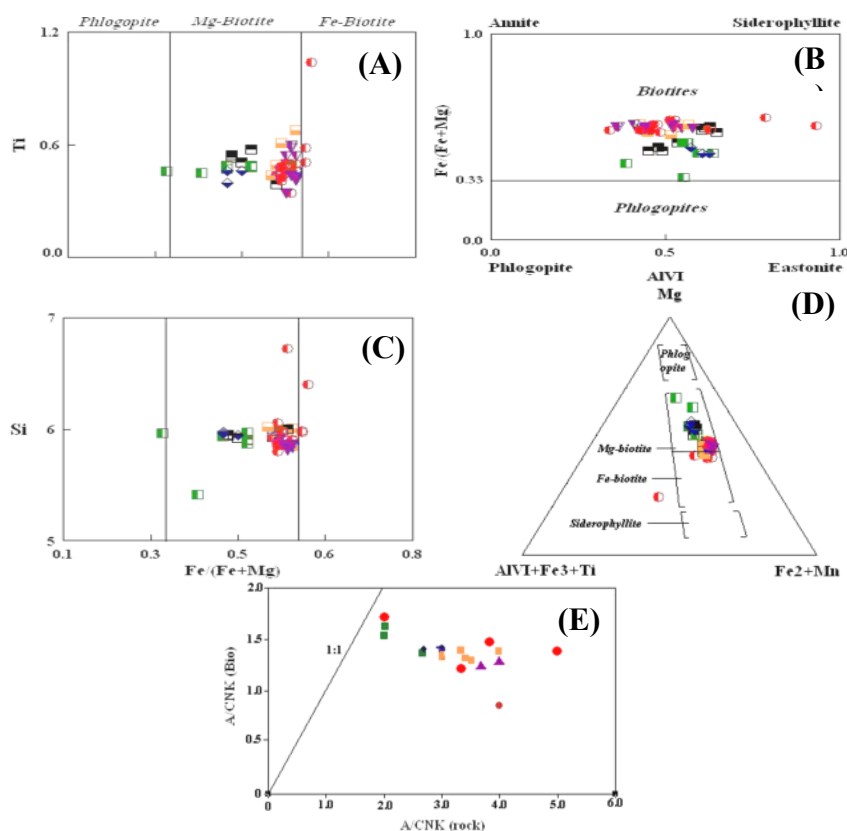
نتایج تجزیه چند نمونه از فلدسپارهای پتاسیم در نمودارهای شکل ۸ و نیز در جدول ۴ نمایش داده شده‌اند. چنانکه انتظار می‌رود در سنگ‌های بازیک ناحیه درصد آنورتیت در فلدسپارهای قلیایی نسبت به واحدهای دیگر، افزایش می‌یابد.

۴- بیوپتیت

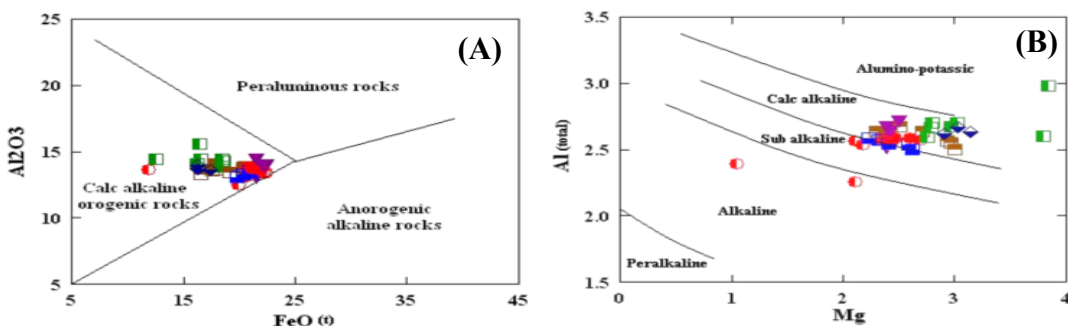
به منظور تحلیل سنگ‌شناختی و نحوه ارتباط واحدهای سنگی در مجموعه نفوذی نطنز تلاش شد تا ترکیب شیمیایی کلیه بیوپتیت‌های تجزیه شده (از واحدهای مختلف سنگی) در نمودارهای واحدی به نمایش درآید. میکاهای تجزیه شده (جدول ۵) مطابق با تقسیم‌بندی [۸] در گروه میکاهای هشت وجهی سه گانه قرار می‌گیرند. همچنین بر پایه رده‌بندی یاد شده این کانی بیشتر از نوع بیوپتیت است (مقدار >۰,۳۳٪ Fe/Fe+Mg) (شکل ۱۰-B). بر پایه طبقه بندی [۳۶] این بیوپتیت‌ها از نوع منیزیم‌دارند (شکل ۱۰-A-C-D). این نوع بیوپتیت، در واقع نتیجه تبلور اولیه اکسیدهای آهن و Ti دارد و نشان دهنده فوگالسیتی نسبتاً بالای اکسیژن

جدول ۵ نتایج ریزپردازش کانی‌های بیوپتیت (Bio) بر پایه اکسیژن

Bio	gr	gr	grd	grd	grd
SiO ₂	۲۶,۴۸	۲۶,۷۳	۲۶,۶۲	۳۵,۸۶	۲۶,۲۴
TiO ₂	۲,۵۱	۲,۹۴	۲,۸۳	۳,۵۸	۲,۳۵
Al ₂ O ₃	۱۳,۶۹	۱۳,۶۹	۱۴,۳۹	۱۳,۷۹	۱۴,۰۰
FeO	۲۱,۵۶	۲۱,۲۴	۲۱,۵۷	۲۲,۲۳	۲۲,۴۱
Cr ₂ O ₃	۰,۰۲	۰,۰۲	۰,۰۴	۰,۰۱	۰,۰۱
MnO	۰,۳۷	۰,۳۹	۰,۵۲	۰,۵۱	۰,۴۴
MgO	۱۰,۸۸	۱۰,۳۶	۱۰,۴۸	۱۰,۰۶	۹,۹۲
CaO	۰,۰۰	۰,۰۰	۰,۱۳	۰,۰۰	۰,۰۱
Na ₂ O	۰,۰۴	۰,۰۹	۰,۱۵	۰,۱۰	۰,۱۲
K ₂ O	۱۰,۱۸	۱۰,۱۳	۹,۷۷	۹,۹۵	۹,۳۶
NiO	۰,۰۰	۰,۰۰	۰,۰۱	۰,۰۰	۰,۰۰
Total	۹۶,۷۳	۹۶,۶۰	۹۶,۵۲	۹۶,۱۰	۹۵,۸۶
Si	۵,۸۴۴	۵,۸۷۸	۵,۸۶۴	۵,۸۱۱	۵,۸۵۸
Al ^{IV}	۲,۱۵۶	۲,۱۲۲	۲,۱۳۶	۲,۱۸۹	۲,۱۴۲
Al ^{VI}	۰,۴۲۶	۰,۴۵۹	۰,۵۷۸	۰,۴۴۳	۰,۵۲۳
Cr	۰,۰۰۳	۰,۰۰۲	۰,۰۰۴	۰,۰۰۱	۰,۰۰۲
Ti	۰,۴۲۳	۰,۴۷۵	۰,۳۴۱	۰,۴۳۶	۰,۴۰۷
Fe ²⁺	۲,۸۸۹	۲,۸۴۲	۲,۸۸۹	۳,۰۱۲	۳,۰۳
Mg	۲,۶	۲,۴۷۲	۲,۵۰۳	۲,۴۲۷	۲,۳۹
Mn	۰,۰۵	۰,۰۵۳	۰,۰۷۱	۰,۰۶۹	۰,۰۶
Ca	۰,۰۰	۰,۰۰	۰,۰۲۳	۰,۰۰	۰,۰۰۲
Na	۰,۰۱۱	۰,۰۲۹	۰,۰۴۶	۰,۰۳	۰,۰۳۷
K	۲,۰۸۲	۲,۰۶۸	۱,۹۹۶	۲,۰۵۸	۱,۹۳۱
Sum Cat.	۱۶,۴۸	۱۶,۴۰	۱۶,۴۵	۱۶,۴۷	۱۶,۳۸



شکل ۱۰ (A) و (C) تعیین ترکیب بیوپتیت‌های منطقه در نمودار تغییرات فراوانی کاتیون‌های موجود در فرمول ساختاری بیوپتیت نسبت به $\text{Fe}^{\#}$ ، (B) نمودار رده‌بندی میکاهای منطقه [۸]، میکاهای تجزیه شده بیشتر در رده بیوپتیت‌های غنی از Mg قرار می‌گیرند، (D) نیز تعیین ترکیب شیمیایی بیوپتیت‌ها با استفاده از روش [۳۶] در اینجا نیز میکاهای در رده بیوپتیت‌های غنی از Mg بوده و انواع موجود در سنگ‌های اسیدی تر، Mg کمتری نشان می‌دهند، (E) نمودار A/CNK بیوپتیت‌ها نسبت به A/CNK سنگ میزان کلیه نمونه‌ها زیرخط ۱:۱ قرار می‌گیرند که می‌تواند حاکی از جذب بزرگ Al موجود در ماگما در شبکه فلدسپارها باشد. نمادها نظیر شکل ۳ هستند.



شکل ۱۱ (A) تعیین محیط زمین ساختی و سری ماگمای با استفاده از ترکیب شیمیایی میکاهای منطقه [۳۷] و نمودار (B) میکاهای تجزیه شده بیشتر در گستره میکاهای آهکی-قلیایی در کمرندهای کوهزاوی [۳۸] قرار می‌گیرند.

کلینوپیروکسن‌ها با توجه به پایین بودن مقدار Fe در مرکز بلور، در فشار نسبتاً پایین متبلور شده‌اند. ترکیب این کانی‌ها منطبق بر پیروکسن‌های موجود در سری ماگمای شبه قلیایی هم‌خوانی دارد، ولی بررسی‌های ژئوشیمی مجموعه آذرین مورد نظر از نوع پتابسیم آهکی-قلیایی پتابسیم متوسط [۱] است که نتیجه مشابه آن با

برداشت با بررسی تجزیه‌های ریزپردازشی و بررسی‌های شیمی کانی‌ها بر روی کانی‌های منطقه، نتایج زیر حاصل می‌شود:

- پیروکسن‌های سنگ‌ها از انواع فقیر از سدیم‌اند. ترکیب کلینوپیروکسن‌ها بیشتر در گستره دیوبسید - اوژیت و ارتونوپیروکسن‌ها در گستره انسناتیت قرار می‌گیرند.

- شرایط ترمودینامیکی تبلور، پایان نامه کارشناسی ارشد، دانشگاه تبریز، ۱۴۱ صفحه (۱۳۸۵).
- [2] White, A.J.R. and Chappell, B.W., "Ultrametamorphism and granitoid genesis", *Tectonophysics* 43 (1977) 7-22.
- [3] Irvine, T.N. and Baragar, W.R.A., "A guide to the chemical classification of the common volcanic rocks", *Canadian Journal of Earth Science* 8(1971) 523-548.
- [4] Pearce J.A., "Source and setting of granitic rocks", *Episode*, 19 (1996) 120-125.
- [5] Pourhoseini F., (1981) Ph.D (Cambridge.U.K.) "Petrogenesis of Iranian plutons, a study of the Natanz and Bazman Intrusive complexes", Geological survey of Iran, Report No. 53, 1983.
- [6] Morimoto N., Fabries J., Ferguson A.K., Ginzburg I.V., Ross M., Seifert F.A., Zussman J., Akoi K., Gottardi G., "Nomenclature of pyroxenes". *Mineralogical Magazine*, 52 (1988) 535-550.
- [7] Droop, G.T.R., "A general equation for estimating Fe^{3+} Concentration in ferromanesian silicates and oxides from microprobe analysis, using stoichiometric criteria", *Mineralogical Magazine* 51 (1987) 431-435.
- [8] Deer W.A., Howie R.A., Zussman J., "An introduction to the Rock – forming minerals", Longman, London, (1991) 528 p.
- [9] Mordick B.E., Glazner A.F., "Clinopyroxene thermobarometry of basalts from the Coso and Big Pine volcanic fields, California", *Contributions to Mineralogy and Petrology* 152 (2006) 111–124.
- [10] PePiper G., "Zoned Pyroxenes from Shoshonite Lavas of esbos, Greece: Inferences concerning Shoshonite Petrogenesis", *Journal of petrology*, 25 (1984). Part 2, 453-4721.
- [11] Bence A.E., Papike J.J., Ayuso R.A., "Petrography of Atlantic island arcs", *Bulletin of volcanology* 32 (1975) 189-206.
- [12] Schweitzer E.L., Papike J. J., bence A.E., "Statistical analysis of clinopyroxenes from deep-sea basalts", *American Mineralogist* 64 (1979) 501-513.
- [13] Cameron M., Papike J.J., "Structural and chemical variations", *American Mineralogist*, 66 (1981) 1-50.
- [14] Zhu Y., Ogasawara Y., "Clinopyroxene phenocrysts (with green salite cores) in trachybasalts: implications for two magma chambers under the Kokchetav UHP massif, North Kazakhstan". *Journal of Asian Earth Sciences* 22 (2004) 517-527.

استفاده از ترکیب بیوتیت‌ها و آمفیبول‌ها به دست می‌آید. بنابراین ماقمای مولد سنگ‌های منطقه از نوع آهکی - قلیایی است که در واقع زیر مجموعه‌ای از سری ماقمایی شبه قلیایی است.

- آمفیبول‌ها از نوع کلسیک و با ترکیب غالب مگنزیوهرنبلند و هرنبلند از فراوانترین کانی‌های مافیک در این مجموعه هستند. بررسی‌های فشار‌سنجی بر پایه Al موجود در آمفیبول‌ها [۲۷] نشان دهنده عمق تبلور آمفیبول به ترتیب ۲/۵۱ Kbar (برای نمونه دیوریتی)، ۲/۲۳ Kbar (برای نمونه گرانوپوریتی) و ۲/۰۸ Kbar (برای نمونه گرانیتی)، است.

- ترکیب پلاژیوکلاز‌های منطقه از An₁₁ (کمترین مقدار در گرانیت) تا An₉₂ (بیشترین مقدار در گابروها) بوده و در برخی از مقاطع، این کانی دارای منطقه‌بندی عادی است.

- دمای تعادل آمفیبول و پلاژیوکلاز در نمونه گرانوپوریت با استفاده از روش [۲۸] برابر با ۷۰/۵ درجه سانتیگراد برآورد می‌شود.

- میکاهای منطقه بیشتر از نوع بیوتیت غنی از Mg هستند. بر پایه رده‌بندی [۳۹، ۳۷] ماقمای سازنده بیوتیت‌های منطقه در گروه کوهزایی آهکی - قلیایی قرار می‌گیرند.

- با بررسی مقدار آهن موجود در واحدهای مختلف مجموعه نظر ملاحظه می‌شود که کانی‌های فرومیزین موجود در این مجموعه به موازات افزایش سیلیس سنگ، از آهن نیز غنی می‌شوند.

- بر پایه ترکیب آمفیبول‌ها، کلینوپیروکسن‌ها، بیوتیت‌ها و نیز محاسبه فوگاسیتۀ اکسیژن با استفاده از رابطه [۳۰] به نظر می‌رسد که میزان فوگاسیتۀ اکسیژن در ماقمای سازنده نمونه-های دیوریتی، گرانوپوریتی و مونزوگرانیتی منطقه، نسبتاً بالا بوده است. میزان فوگاسیتۀ اکسیژن در ماقماً بستگی به جنس مواد در خاستگاه ماقماً دارد که آن نیز خود وابسته به جایگاه زمین ساختی است [۴۰]. ماقمای گرانیتی با خاستگاه ته نشستی بیشتر حالت احیایی دارند در حالی که گرانیت‌های نوع I- نسبتاً اکسیژنی هستند [۴۰]. میزان محاسبه شده فوگاسیتۀ اکسیژن در سنگ‌های منطقه به خوبی خاستگاه رسوبی را برای ماقمای سازنده آن‌ها رد می‌کند (نتایج حاصل از بررسی شیمی سنگ [۱] نیز این موضوع را تأیید می‌کنند).

مراجع

- [۱] هنرمند، م، "مطالعات پتروگرافی، پترولوژی و پتروژنر توده‌های نفوذی غرب و جنوب غرب نظر نگرشی بر تعیین

- [28] Johnson M.C., Rutherford M.J., "Experimental calibration of the aluminum-in-hornblende geobarometer with application to Long Valley Caldera (California) volcanic rocks", *Journal of Geology* 17 (1989) 837-841.
- [29] Blundy J.D., Holland T.J. B., "Calcic amphibole equilibria and a new amphibole-plagioclase geothermometer", *Contributions to Mineralogy and Petrology* 104 (1990) 208-224.
- [30] Wones D.R., "Significance of the assemblage titanite + magnetite + quartz in granitic rocks", *74 American Mineralogist*, (1989) 744-749.
- [31] Coltorti M., Bonadiman C., Faccini B., Grégoire M., O'Reilly S.Y., Powell W., "Amphiboles from suprasubduction and intraplate lithospheric mantle", *99 Lithos* (2007) 68-84.
- [32] Pietranik A., Koepke J., Puziewicz J., "Crystallization and resorption in plutonic plagioclase: Implications on the evolution of granodiorite magma (Gesiniec granodiorite, Strzelin Crystalline Massif, SW Poland)", *86 Lithos* (2006) 260-280.
- [33] Tegner C., "Iron in plagioclase as a monitor of the differentiation of the Skaergaard intrusion", *Contribution to Mineralogy Petrology* 128 (1997) 45-51.
- [34] Smith JV., "Phase equilibria of plagioclase", In: Ribbe PH (ed) *Feldspar mineralogy*, 2nd edn Mineralogical Society of America, Washington DC, (Reviews in Mineralogy vol. 2) (1983) 223-239.
- [35] Smith J.V., Brown W.L., "Feldspar minerals. Crystal structures, physical, chemical and microtextural properties", Springer, Berlin-Heidelberg-New York, (1988) 828p
- [36] Foster M.D., "Interpretation of the composition of trioctahedral micas". U.S. Geological Survey, Prof. Pap, 354 (1960) 11-49.
- [37] Abdel – Rahman A. M., "Nature of biotites from alkaline, Calc-alkaline and peraluminous magmas", *Journal of Petrology* 35 (1994) 525-541.
- [38] Spear J.A., "Mica in igneous rocks". In: Micas, Bailey, S.W. (ed); Mineralogical Society of America, Review in Mineralogy 13 (1984) 299-356.
- [39] Nachit H., "Contribution à l'étude analytique et expérimentale des biotites des granitoïdes Applications typologiques", These de Doctorat De L'univesité de Bretagne occidentale (1986) 236p.
- [40] Helmy H.M., Ahmed A.F., El Mahallawi M.M., Ali S.M., "Pressure, temperature and oxygen fugacity conditions of calc-alkaline granitoids, Eastern Desert of Egypt, and tectonic implications" *Journal of African Earth Sciences* 38 (2004) 255-268.
- [15] LeBas N.J., "The role of aluminium in igneous clinopyroxenes with relation to their parentage", *American Journal of Science* 260 (1962) 267-288.
- [16] Leterrier J., Maury R. C., Thonon P., Girard D., Marchal M., "Clinopyroxene composition as a method of identification of the magmatic affinities of paleo-volcanic series", *Earth and Planetary Science Letters* 59 (1982) 139-154.
- [17] Nosova A. A., Sazonova L. V., Narkisova V. V., Simakin S. G., "Minor elements in clinopyroxene from Paleozoic volcanics of the Tagil Island Arc in the Central Urals", *Geochemistry International* 40 (2002): 219-232.
- [18] Anderson JL., "Status of thermobarometry in granitic batholiths", *Trans Roy Soc Edinb: Earth Science* 87 (1997) 125-138.
- [19] Ramsay R.R., "Geochemistry of Diamond Indicator Minerals". PhD Thesis, University of Western Australia, Perth, WA. 1992.
- [20] Thompson R.N., "Some high-pressure pyroxenes". *Mineralogical Magazine* 39(1974) 768-787.
- [21] Wass, S.Y., Multiple origins of clinopyroxenes in alkali basaltic rocks, *Lithos* 12 (1979) 115-132.
- [22] Leake B.E., Woolley A.R., Birch W.c., Gilbert M.C., Grice J.D., Hawthone F.C., Kato A., Kisich H.J., Krivovichev V.G., Linthout K., Laird J., Mandarino J., "Nomenclature of amphiboles: Report of the subcommittee on amphiboles of the International Mineralogical Association Commission on new mineral and mineral names", *Mineralogical Magazine* 61 (1997) 295-321.
- [23] Spear F.S., "Metamorphic phase equilibria and pressure – temperature – time paths" Mineralogical Society of America, Washington, (1993) 799.
- [24] Jarrah GH, "Mineral chemistry in dioritic hornblendite from Wadi Araba, Southwest Jordan", *Journal of African Earth Sciences* 26 (1998) 285-295.
- [25] Anderson JL., Smith D.R., "The effects of temperature and f_{O_2} on the Al-in-hornblende barometer". *American Mineralogist* 80 (1995) 549-559.
- [26] Stein E., Dietl C., "Hornblende thermobarometry of granitoids from the Central Odenwald (Germany) and their implications for the geotectonic development of the Odenwald", *Mineralogy and Petrology* 72 (2001) 185-207.
- [27] Schmidt M.W., "Amphibole composition in tonalite as a function of pressure: an experimental calibration of the Al-in hornblende barometer". *Contributions to Mineralogy and Petrology* 110 (1992) 304-310.